



## ใบรับรองวิทยานิพนธ์

บัณฑิตวิทยาลัย สถาบันเทคโนโลยีพระจอมเกล้าพระนครเหนือ

เรื่อง วจรไคเพิล็กซ์เซอร์แบบโคแอกเซียลควิตี้ที่ใช้โพรบกลับปดิ่งไขว้แบบคาปาซีทีฟ  
โดย นายเอกโอริน แฉ่มรุ่ง

ได้รับอนุมัติให้นำเป็นส่วนหนึ่งของการศึกษาดมหลักสูตร  
วิศวกรรมศาสตรมหาบัณฑิต สาขาวิชาวิศวกรรมไฟฟ้า

คณบดีบัณฑิตวิทยาลัย

(อาจารย์ ดร.มงคล หวังสถิตย์วงษ์)

17 กุมภาพันธ์ 2550

คณะกรรมการสอบวิทยานิพนธ์

ประธานกรรมการ

(รองศาสตราจารย์ ดร.ประยุทธ์ อัครเอกพาลิน)

กรรมการ

(รองศาสตราจารย์เวช วิเวก)

กรรมการ

(ผู้ช่วยศาสตราจารย์ ดร.เด่นชัย วรเสวต)

ฉบับ ๓.๖๖๕๐

กรรมการ

(ผู้ช่วยศาสตราจารย์ ดร.คณัย ต.รุ่งเรือง)

วงจรไดโพลีซเซอร์แบบโคแอกเซียลควิต์ที่ใช้โพรบกลับปลั๊กไขว้แบบคาปาซิทีฟ

นายเอกโยธิน แยมรุ่ง

วิทยานิพนธ์นี้เป็นส่วนหนึ่งของการศึกษาตามหลักสูตร  
วิศวกรรมศาสตรมหาบัณฑิต  
สาขาวิชาวิศวกรรมไฟฟ้า ภาควิชาวิศวกรรมไฟฟ้า  
บัณฑิตวิทยาลัย สถาบันเทคโนโลยีพระจอมเกล้าพระนครเหนือ  
ปีการศึกษา 2549  
ลิขสิทธิ์ของสถาบันเทคโนโลยีพระจอมเกล้าพระนครเหนือ

ชื่อ : นายเอกโยธิน เข้มรุ่ง  
ชื่อวิทยานิพนธ์ : วงจรโคแอกเซียลควิต์ที่ใช้  
โพรบคลัปปลิงไขว้แบบคาปาซิทีฟ  
สาขาวิชา : วิศวกรรมไฟฟ้า  
สถาบันเทคโนโลยีพระจอมเกล้าพระนครเหนือ  
ที่ปรึกษาวิทยานิพนธ์ : รองศาสตราจารย์ ดร.ประยูทธ อัครเอกผาลิน  
ปีการศึกษา : 2549

### บทคัดย่อ

วิทยานิพนธ์ฉบับนี้ ได้นำเสนอการออกแบบและการสร้างวงจรโคแอกเซียลควิต์แบบโคแอกเซียลควิต์ที่ใช้โพรบคลัปปลิงไขว้แบบคาปาซิทีฟเพื่อสร้างทรานสมิซชันชีโรจิ้นมาจำกัดแถบที่ไม่ต้องการออกไป เพื่อตอบสนองย่านความถี่ได้ดีมากยิ่งขึ้นวงจรโคแอกเซียลควิต์นี้ได้ถูกออกแบบมาเพื่อรองรับระบบสื่อสารไร้สายในย่าน IMT-2000 ย่านความถี่ด้านรับ (1.92GHz-1.98GHz) และย่านความถี่ด้านส่ง (2.11GHz-2.17GHz) ซึ่งได้ทำการจำลองแบบการทำงานด้วยโปรแกรมออกแบบทางคลื่นไมโครเวฟ (CST Software) โดยการออกแบบวงจรโคแอกเซียลควิต์นี้ประกอบด้วยวงจรกรองที่ถูกออกแบบให้เรโซเนเตอร์มีความยาวประมาณ  $\lambda/8$  แล้วนำมาจัดวางเรียงกันเป็นแบบคลัปปลิงไขว้จำนวนสี่เรโซเนเตอร์ต่อด้านรับและด้านส่ง โดยมีแท่งโพรบคาปาซิทีฟเป็นตัวทำให้เกิดการคลัปปลิงแบบไขว้ เป็นผลให้เกิดการตอบสนองย่านความถี่ที่ดี และยังได้นำเสนอวิธีขั้นตอนการออกแบบชิ้นงาน พร้อมทั้งได้จัดทำชิ้นงานและวัดทดสอบคุณลักษณะของวงจรกรองผ่านแถบด้านรับและด้านส่งซึ่งผลการวัดค่าชิ้นงานจริงที่วงจรกรองผ่านแถบย่านความถี่ด้านรับจะได้ค่าสูญเสียการส่งผ่าน ( $S_{21}$ ) น้อยกว่า 1.5 dB ค่าการสูญเสียการสะท้อน ( $S_{11}$ ) ประมาณ 20 dB แบนวิดประมาณ 59MHz และวงจรกรองผ่านแถบย่านความถี่ด้านส่งจะได้ค่าสูญเสียการส่งผ่าน ( $S_{21}$ ) น้อยกว่า 1.6 dB ค่าการสูญเสียการสะท้อน ( $S_{11}$ ) ประมาณ 20 dB ที่แบนวิดเท่ากับ 60MHz ค่าการแยกกันของสัญญาณประมาณ 60 dB ทั้งสองด้านความถี่

(วิทยานิพนธ์มีจำนวนทั้งสิ้น 61 หน้า)

คำสำคัญ : โคแอกเซียลควิต์, คลัปปลิงแบบไขว้, วงจรกรองความถี่ผ่านแถบ, วงจรโคแอกเซียลควิต์

อาจารย์ที่ปรึกษาวิทยานิพนธ์

Name : Mr.Egyotin Yamrong  
Thesis Title : A Coaxial Cavity Diplexer Using Capacitive Cross-Coupling Probes  
Major Field : Electrical Engineering  
King Mongkut's Institute of Technology North Bangkok  
Thesis Advisor : Associate Professor Dr. Prayoot Akkaraekthalin  
Academic Year : 2006

### **Abstract**

This thesis describes a design technique for a new cross-coupled coaxial cavity diplexer using a capacitive probe coupling to produce two real transmission zeros. The proposed diplexer is operated in the International Mobile Telecommunications IMT-2000 band. The diplexer consists of two  $\lambda/8$  coaxial cavity band pass filters with a four-resonator cross-coupled structure and capacitive probes. We propose the step in design, fabrications, and measurement the characteristic of the coaxial cavity diplexer. From the results, we have obtained the high performance diplexer including high rejection bands, low insertion losses 1.5 dB, return losses about 20 dB, bandwidth 59MHz for RX band, and low insertion loss 1.6dB, return losses about 20dB, bandwidth 60MHz for TX band with high isolation levels of greater than 60 dB between Rx and Tx bands.

(Total 61 pages)

Keyword : Coaxial Cavity Cross Coupling, Band Pass Filter, Diplexer

---

Advisor

## กิตติกรรมประกาศ

วิทยานิพนธ์ฉบับนี้ สามารถดำเนินการได้สำเร็จตามวัตถุประสงค์ ที่ผู้เขียนตั้งไว้ทุกประการ โดยได้รับคำปรึกษาตลอดจนคำแนะนำต่างๆ ในการออกแบบ การสร้างและการทดสอบชิ้นงานจากคณาจารย์ที่ปรึกษาวิทยานิพนธ์ผู้ทรงคุณวุฒิ คือ รองศาสตราจารย์ ดร.ประยูทธ อัครเอกภาลิน และขอขอบคุณ ศาสตราจารย์ ดร.โมไนย ไกรฤกษ์ ภาควิชาวิศวกรรมโทรคมนาคม สถาบันเทคโนโลยีพระจอมเกล้าเจ้าคุณทหารลาดกระบัง ที่ให้ความอนุเคราะห์โปรแกรม CST เพื่อใช้จำลองผลในงานวิจัยชิ้นนี้ ตลอดจน อาจารย์จารึก จันทร์ตรี อาจารย์ศราวุธ ชัยมูล รวมทั้ง พี่ๆ เพื่อนๆ นักศึกษาปริญญาโท และ นักศึกษาในระดับปริญญาเอก ที่สถาบันเทคโนโลยีพระจอมเกล้าพระนครเหนือ ในที่นี้ที่ได้ให้คำแนะนำและข้อคิดเห็นต่าง ๆ ของการวิจัยมาโดยตลอด

ข้าพเจ้าขอขอบพระคุณบิดามารดา ที่ได้ให้ความสนับสนุนการศึกษาและปัจจัยในด้านต่างๆ และขอขอบคุณ พี่ น้อง เพื่อนๆ ทุกคน ที่ให้ความช่วยเหลือและเป็นกำลังใจให้ตลอดมาจนกระทั่งวิทยานิพนธ์นี้สำเร็จลุล่วงด้วยดี ผู้จัดทำหวังเป็นอย่างยิ่งว่าวิทยานิพนธ์ฉบับนี้ จะเป็นประโยชน์ต่อผู้สนใจและเป็นแนวทางในการพัฒนาต่อไป

เอกโยธิน เข้มรุ่ง

## สารบัญ

	หน้า
บทคัดย่อภาษาไทย	ข
บทคัดย่อภาษาอังกฤษ	ค
กิตติกรรมประกาศ	ง
สารบัญตาราง	ช
สารบัญภาพ	ฅ
บทที่ 1 บทนำ	1
1.1 วัตถุประสงค์	2
1.2 ขอบเขตของการวิจัย	2
1.3 วิธีการวิจัย	2
1.4 อุปกรณ์ที่ใช้ในงานวิจัย	3
1.5 ประโยชน์ของผลการวิจัย	3
บทที่ 2 ทฤษฎีที่เกี่ยวข้อง	4
2.1 พารามิเตอร์การส่งผ่าน	4
2.2 ทรานส์เฟอร์ฟังก์ชันสำหรับวงจรกรองความถี่	8
2.3 วงจรกรองความถี่ต่ำผ่านคั่นแบบ	11
2.4 การออกแบบวงจรกรองความถี่	15
บทที่ 3 การออกแบบวงจรกรองผ่านแถบและวงจรไดเฟล็กซ์เซอร์แบบ โคแอกเซียลควิตีที่ใช้โพรบกลับปลิงไขว้แบบคาปาซิทีฟ	18
3.1 การออกแบบวงจรกรองผ่านแถบลำดับรับในช่วงความถี่ (1.92GHz - 1.98GHz)	18
3.2 การออกแบบวงจรกรองผ่านแถบลำดับส่งในช่วงความถี่ (2.11GHz - 2.17GHz)	31
3.3 การออกแบบวงจรไดเฟล็กซ์เซอร์	34
บทที่ 4 การทดสอบและผลการทดสอบ	42
4.1 การทดสอบวงจรไดเฟล็กซ์เซอร์แบบ โคแอกเซียลควิตีในส่วนวงจรกรอง ผ่านแถบลำดับรับ (1.92GHz – 1.98GHz)	43
4.2 การทดสอบวงจรไดเฟล็กซ์เซอร์แบบ โคแอกเซียลควิตีในส่วนวงจรกรองผ่านแถบ ด้านส่ง(2.11GHz – 2.17GHz)	45

สารบัญ		หน้า
4.3	ทำการวัดค่าการแยกกันของสัญญาณ (S32) หรือค่าการ Isolation ของวงจร ไดเฟล็กเซอร์	47
บทที่ 5	สรุปผลการวิจัยและข้อเสนอแนะ	50
5.1	สรุปผลการวิจัย	50
5.2	ปัญหา และข้อเสนอแนะ	50
	เอกสารอ้างอิง	52
	ประวัติผู้วิจัย	53

## สารบัญตาราง

ตารางที่	หน้า
3-1 ค่าคุณสมบัติต่างๆ ของวงจรกรองผ่านแถบด้านแถบรับ	19
3-2 ค่าคุณสมบัติต่างๆ ของวงจรกรองผ่านแถบด้านแถบส่ง	31

## สารบัญภาพ

ภาพที่	หน้า	
2-1	โครงข่ายแบบสองพอร์ตและค่าสัมประสิทธิ์การส่งผ่าน กับค่าสัมประสิทธิ์การสะท้อนกลับ	5
2-2	ผลตอบสนองของวงจรรองความถี่ต่ำผ่านแบบเชบีเชฟ	10
2-3	การกระจายโพลสำหรับผลตอบสนองของวงจรรองเชบีเชฟ	11
2-4	วงจรรองความถี่ต่ำผ่านต้นแบบโครงสร้างขยับบันได	12
2-5	วงจรรองความถี่ต่ำผ่านต้นแบบโครงสร้างวงจรวงู่เสมือน	12
2-6	การแปลงองค์ประกอบพื้นฐานจากวงจรรองความถี่ต่ำผ่านต้นแบบ ไปยังวงจรรองความถี่ผ่านแถบ	15
2-7	โครงสร้างของวงจรรองผ่านแถบโดยใช้คู่ของการส่งผ่านที่เป็นศูนย์ และเป็นการเรียงกันสี่ตัวแบบคลัปปลิงไขว้	16
3-1	การคำนวณหาขนาดของโคแอกเซียลควิตี้ด้วยโปรแกรม Appcad for Window	19
3-2	ขนาดต่างๆของเรโซเนเตอร์ที่ใช้ในการออกแบบ	21
3-3	ผลตอบสนองทางความถี่จากการกระตุ้นเรโซเนเตอร์ด้วยโปรแกรมจำลองทาง ไมโครเวฟ	22
3-4	ผลตอบสนองทางความถี่จากการจำลองเมื่อเปลี่ยนขนาดรัศมีของหัวโพรบ (Rdisk)	22
3-5	ผลตอบสนองทางความถี่จากการจำลองเมื่อทำการเปลี่ยนขนาดความยาวของ หัวโพรบ(Couple)	23
3-6	ผลตอบสนองทางความถี่จากการจำลองเมื่อทำการเปลี่ยนระยะความสูงของ หัวพอร์ต (Hport)	23
3-7	ผลการจำลองผลตอบสนองทางความถี่การเปลี่ยนค่าความสูงของกล่องควิตี้ (Hbox)	24
3-8	การจัดวางตำแหน่งของเรโซเนเตอร์ตามลำดับตัวเลขและแท่งโพรบคาปาซิทีฟ	25
3-9	การจัดวางตำแหน่งของเรโซเนเตอร์และแท่งโพรบคาปาซิทีฟเมื่อได้ทำการ ออกแบบลงในโปรแกรม CST 5.0	25
3-10	ความหนาของกำแพงเชื่อมต่อ T	26
3-11	ความสัมพันธ์ระหว่างค่าสัมประสิทธิ์การเชื่อมต่อกับความหนาของ กำแพงกันระหว่างเรโซเนเตอร์	27
3-12	ความสูงของกำแพงเชื่อมต่อ Hwall	28

## สารบัญภาพ (ต่อ)

ภาพที่	หน้า
3-13 ความสัมพันธ์ระหว่างค่าสัมประสิทธิ์การเชื่อมต่อกับความสูงของกำแพงกัน (Hwall) ระหว่างเรโซเนเตอร์	28
3-14 ความสัมพันธ์ระหว่างค่าสัมประสิทธิ์การเชื่อมต่อกับความยาวของแท่งคาปาซิทีฟ โพรบ (L) ระหว่างเรโซเนเตอร์ 1 กับ 4	29
3-15 ผลตอบสนองทางความถี่วงจรกรองผ่านแถบด้านแถบรับ	30
3-16 ค่าสัมประสิทธิ์การส่งผ่าน $S_{21}$ มีค่าการสูญเสียน้อยกว่า 0.1	31
3-17 ผลตอบสนองทางความถี่วงจรกรองผ่านแถบด้านแถบส่ง	33
3-18 ค่าสัมประสิทธิ์การส่งผ่าน $S_{21}$ มีค่าการสูญเสียน้อยกว่า 0.1	33
3-19 ไดเพล็กซ์เซอร์ที่ประกอบจากวงจรกรองผ่านแถบทั้งด้านรับและส่ง	35
3-20 ไดเพล็กซ์เซอร์ที่ประกอบจากวงจรกรองผ่านแถบทั้งด้านรับและส่ง โดยมีพอร์ตอยู่ตรง กลางทำหน้าที่รวมสัญญาณทั้งสองด้านวงจรกรองผ่านแถบเข้าด้วยกัน	35
3-21 ภาพขยายให้เห็นพอร์ตรวมสัญญาณที่อยู่ตรงกลางระหว่างสองด้านวงจรกรอง	36
3-22 ผลตอบสนองทางความถี่ของไดเพล็กซ์เซอร์เมื่อทำการปรับค่าพารามิเตอร์วงจรกรอง ทั้งสองด้านเรียบร้อยแล้ว	37
3-23 ค่าสัมประสิทธิ์การส่งผ่าน $S_{21}$ เมื่อเปลี่ยนแปลงค่าความยาวของกำแพงกัน สองวงจกรอง (Lmid)	38
3-24 ค่าสัมประสิทธิ์การส่งผ่าน $S_{32}$ เมื่อเปลี่ยนแปลงค่าความยาวของกำแพงกัน สองวงจกรอง (Lmid)	38
3-25 รูปขยายค่าสัมประสิทธิ์การส่งผ่าน $S_{21}$ เมื่อเปลี่ยนแปลงค่าความยาวของ กำแพงกันสองวงจกรอง (Lmid)	39
3-26 รูปขยายค่าสัมประสิทธิ์การส่งผ่าน $S_{32}$ เมื่อเปลี่ยนแปลงค่าความยาวของ กำแพงกันสองวงจกรอง (Lmid)	39
3-27 ค่าสัมประสิทธิ์การส่งผ่าน ( $S_{21}$ ) เมื่อเปลี่ยนแปลงความกว้างวงจแยกสัญญาณ (AIR)	40
3-28 ค่าสัมประสิทธิ์การส่งผ่าน ( $S_{32}$ ) เมื่อเปลี่ยนแปลงความกว้างวงจแยกสัญญาณ (AIR)	40
3-29 รูปขยายค่าสัมประสิทธิ์การส่งผ่าน ( $S_{21}$ ) เมื่อเปลี่ยนแปลงความกว้างวงจแยกสัญญาณ (AIR)	41

## สารบัญภาพ (ต่อ)

ภาพที่	หน้า
3-30 รูปขยายค่าสัมประสิทธิ์การสะท้อน ( $S_{32}$ ) เมื่อเปลี่ยนแปลงความกว้างวงจรแยกสัญญาณ (AIR)	41
4-1 รูปแบบการต่อเครื่องมือวัดเพื่อใช้ทดสอบชิ้นงานวงจรกรองผ่านแถบด้านรับ	42
4-2 รูปแบบการต่อเครื่องมือวัดเพื่อใช้ทดสอบชิ้นงานวงจรกรองผ่านแถบด้านส่ง	43
4-3 ผลการวัดจริงและการจำลองด้วยโปรแกรมทางไมโครเวฟค่า $S_{11}$ ของวงจรไดเฟล็กเซอร์โคแอกเซียลควิตี้ด้านแถบรับที่ค่าความถี่กลาง 1.95GHz	44
4-4 ผลการวัดจริงและการจำลองด้วยโปรแกรมทางไมโครเวฟค่า $S_{21}$ ของวงจรกรองโคมพ์ไลน์แบบโคแอกเซียลควิตี้ด้านแถบรับที่ค่าความถี่กลาง 1.95 GHz	44
4-5 ผลการวัดจริงค่า $S_{11}$ $S_{21}$ ของวงจรไดเฟล็กเซอร์โคแอกเซียลควิตี้ด้านแถบรับที่ค่าความถี่กลาง 1.95 GHz	45
4-6 เปรียบเทียบผลการวัดชิ้นงานจริงและการจำลองค่าสัมประสิทธิ์การส่งผ่าน ( $S_{21}$ ) ของวงจรกรองผ่านแถบด้านแถบส่ง	46
4-7 ผลวัดชิ้นงานจริงค่าสัมประสิทธิ์การสะท้อน ( $S_{11}$ ) และค่าสัมประสิทธิ์การส่งผ่าน ( $S_{21}$ ) ของวงจรกรองผ่านแถบด้านแถบส่ง	46
4-8 ผลวัดชิ้นงานจริงค่าสัมประสิทธิ์การสะท้อน ( $S_{11}$ ) และค่าสัมประสิทธิ์การส่งผ่าน ( $S_{21}$ ) ของวงจรกรองผ่านแถบด้านแถบส่ง	47
4-9 ผลวัดชิ้นงานจริงค่า ( $S_{22}$ ) และ ( $S_{32}$ ) ที่ย่านความถี่รับความถี่กลางที่ 1.95 GHz ไปยังย่านความถี่ส่งความถี่กลางที่ 2.14 GHz ของวงจรไดเฟล็กซ์เซอร์	48
4-10 ผลวัดชิ้นงานจริงค่า ( $S_{33}$ ) และ ( $S_{23}$ ) ที่ย่านความถี่ส่งความถี่กลางที่ 2.14 GHz ไปยังย่านความถี่รับความถี่กลางที่ 1.95 GHz ของวงจรไดเฟล็กซ์เซอร์	48
4-11 รูปชิ้นงานไดเฟล็กเซอร์	49
4-12 รูปชิ้นงานไดเฟล็กเซอร์โครงสร้างภายใน	49

# บทที่ 1

## บทนำ

ปัจจุบันนี้จำนวนผู้ใช้บริการติดต่อสื่อสารทางโทรศัพท์มือถือเพิ่มขึ้นเป็นอย่างมากและยังมีการแข่งขันการให้บริการเสริมต่างๆจากผู้ให้บริการโทรศัพท์ เพื่อมอบความสะดวกสบาย ความทันสมัยให้แก่ผู้ใช้บริการโทรศัพท์มือถือ ในอนาคตอันใกล้เทคโนโลยีโทรศัพท์มือถือยุคที่ 3 กำลังจะถูกนำมาให้บริการอย่างเต็มรูปแบบ จากการพัฒนาที่จำเป็นต้องมีมาตรฐานการสื่อสารไร้สายที่มีประสิทธิภาพมากกว่าเดิม เพื่อรองรับจำนวนผู้ใช้บริการที่จะมีมากขึ้นในอนาคต และรองรับกับเทคโนโลยีใหม่ๆที่จะถูกนำมาใช้ ทำให้ในระบบการสื่อสารจำเป็นต้องมีวงจรกรองผ่านแถบความถี่ เพื่อรองรับความต้องการใช้สเปกตรัมความถี่ที่มากขึ้นดังนั้นจึงจำเป็นต้องใช้วงจรกรองผ่านแถบความถี่นี้เพื่อลดสัญญาณกวนต่างๆที่เกิดขึ้นจากระบบอื่น ๆ รวมทั้งการรบกวนจากช่องสัญญาณข้างเคียงจากภาคส่ง วงจรกรองผ่านแถบความถี่ที่จะนำมาใช้งานสำหรับสถานีฐาน เพื่อกรองสัญญาณที่รับมาจากสายอากาศนั้นจะต้องมีคุณสมบัติค่าความสูญเสียเนื่องจากการใส่แทรกที่ต่ำ สามารถรองรับกำลังงานได้สูง ผลิตในภาคอุตสาหกรรมได้ง่ายและใช้ต้นทุนในการผลิตต่ำ ซึ่งส่วนใหญ่โครงสร้างวงจรกรองที่ใช้ในสถานีฐานจะเป็นโครงสร้างแบบท่อนำคลื่น (Waveguide) และแบบโคแอกเซียลคาวิตีเรโซเนเตอร์ (Coaxial Cavity Resonator) ซึ่งโครงสร้างทั้งสองแบบนี้มีขนาดทางกายภาพที่เหมาะสมทนทานต่อสภาพแวดล้อมในการติดตั้งภายนอกอาคารแล้วยังมีค่าการสูญเสียเนื่องจากการใส่แทรกต่ำมากและสามารถรองรับกำลังงานได้สูง โครงสร้างแบบคาวิตีจึงได้รับความนิยมในการนำมาสร้างวงจรกรองผ่านแถบสำหรับใช้ในสถานีฐาน โครงสร้างคาวิตีได้มีการพัฒนาเปลี่ยนรูปแบบอย่างมากมาย ซึ่งในโครงสร้างแบบโคแอกเซียลคาวิตีได้พัฒนามาจากโครงสร้างแบบท่อนำคลื่น มีโครงสร้างแบบต่อตรงและแบบต่อไขว้ โดยเพิ่มตัวเรโซเนเตอร์เข้าไปเพื่อตอบสนองช่วงความถี่ที่ดีขึ้นกว่าเดิม โครงสร้างแบบต่อไขว้นี้มีผลตอบสนองความถี่ที่ดีมาก ในการพัฒนาเทคนิคใหม่นี้ได้มีการใส่คาปาซิเตอร์โหลดระหว่างเรโซเนเตอร์เพื่อต้องการให้เกิดทรานสมิชชันซีโร ขึ้นทั้งสองข้างของช่วงความถี่เรโซแนนท์ที่ดีกว่าโครงสร้างต่อไขว้แบบธรรมดา

งานวิจัยนี้จึงได้นำเสนอวิธีการออกแบบและสร้างวงจรไดเพล็กซ์เซอร์ที่ใช้โครงสร้างโคแอกเซียลคาวิตีแบบต่อไขว้ โดยเพิ่มเทคนิคคาปาซิเตอร์โหลดเพื่อการตอบสนองความถี่ที่ดีกว่าเดิม ในการออกแบบนี้รองรับมาตรฐานช่วงย่านความถี่ IMT-2000 ที่สามารถใช้ในย่าน W-CDMA และด้วยเทคนิคนี้สามารถนำมาพัฒนาสร้างวงจรไดเพล็กซ์เซอร์ในรูปแบบอื่นที่มีประสิทธิภาพมากยิ่งขึ้นได้ต่อไป

## 1.1 วัตถุประสงค์ของการวิจัย

- 1.1.1 เพื่อศึกษาคุณลักษณะวงจรกรองผ่านแถบ โครงสร้างแบบ โคแอกเซียลควार्टซ์
- 1.1.2 เพื่อศึกษาคุณสมบัติวงจรกรองผ่านแถบ โครงสร้างแบบ โคแอกเซียลควार्टซ์แบบต่อไขว้โดยเพิ่มเทคนิคปาซิเตอร์โหลดเข้าไปเพื่อประสิทธิภาพการส่งผ่านความถี่ที่ดีกว่าเดิม
- 1.1.3 เพื่อศึกษาคุณสมบัติวงจร ไดเพล็กซ์เซอร์ โครงสร้าง โคแอกเซียลควार्टซ์แบบต่อไขว้โดยเพิ่มเทคนิคปาซิเตอร์โหลดเข้าไปเพื่อประสิทธิภาพการส่งผ่านความถี่ที่ดีกว่าเดิม

## 1.2 ขอบเขตของการวิจัย

- 1.2.1 ศึกษาออกแบบสร้างทดสอบชิ้นงานวงจร ไดเพล็กซ์เซอร์ ในย่านความถี่ 1.92-1.98 GHz (RX-band) กับ 2.11-2.17 GHz (TX-band)
- 1.2.2 ศึกษาการปรับพารามิเตอร์ต่างๆ ในวงจร ไดเพล็กซ์เซอร์

## 1.3 วิธีการวิจัย

- 1.3.1 ศึกษาข้อมูลเกี่ยวกับวงจรกรองความถี่ผ่านแถบ โครงสร้างแบบ โคแอกเซียลควार्टซ์ด้วยโปรแกรมจำลองการสร้างอุปกรณ์ทางไมโครเวฟเพื่อหาความสัมพันธ์ระหว่างค่าพารามิเตอร์ต่างๆ กับผลตอบสนองของความถี่
- 1.3.2 ศึกษาและออกแบบวงจรกรองความถี่ผ่านแถบ โครงสร้างควार्टซ์แบบหลายเรโซเนเตอร์ที่ต่อแบบ โคแอกเซียลควार्टซ์แบบต่อไขว้
- 1.3.3 ศึกษาและออกแบบวงจรกรองความถี่ผ่านแถบ โครงสร้างควार्टซ์แบบหลายเรโซเนเตอร์ที่ต่อแบบ โคแอกเซียลควार्टซ์แบบต่อไขว้ที่ได้ทำการเพิ่มเทคนิคปาซิเตอร์โหลดเพื่อการตอบสนองความถี่ที่ดีกว่าเดิม
- 1.3.4 ศึกษาและออกแบบวงจร ไดเพล็กซ์เซอร์ โครงสร้างควार्टซ์แบบหลายเรโซเนเตอร์ที่ต่อแบบ โคแอกเซียลควार्टซ์แบบต่อไขว้ที่ได้ทำการเพิ่มเทคนิคปาซิเตอร์โหลดเพื่อการตอบสนองความถี่ที่ดีกว่าเดิม
- 1.3.5 สร้างชิ้นงานจริงทดสอบวัดงานจริงของวงจร ไดเพล็กซ์เซอร์ และทำการนำผลการทดลองมาเปรียบเทียบกับผลการวัดจริง

## 1.4 อุปกรณ์ที่ใช้ในงานวิจัย

- 1.4.1 ไมโครคอมพิวเตอร์
- 1.4.2 โปรแกรมที่ใช้ในการคำนวณขนาดโครงสร้างควาวิตี้ (AppCAD for Window)
- 1.4.3 โปรแกรมจำลองการทำงาน ( CST Microwave Simulator)
- 1.4.4 พอร์ต N-Type (N Type port 50 Ohm)
- 1.4.5 เครื่องวิเคราะห์ข่ายงานไฟฟ้า ( Network Analyzer )

## 1.5 ประโยชน์ของการวิจัย

- 1.5.1 วงจรไดเพล็กซ์เซอร์โครงสร้างควาวิตี้แบบหลายเรโซเนเตอร์ที่ต่อแบบโคแอกเชียลควาวิตี้แบบต่อไขว้ที่ได้ทำการเพิ่มเทคนิคคาปาซิเตอร์โหลด
- 1.5.2 สามารถนำไปประยุกต์ใช้งานในระบบสื่อสารไร้สายโทรศัพท์เคลื่อนที่รุ่นที่3 ได้
- 1.5.3 เพื่อเป็นแนวทางการพัฒนางจรไดเพล็กซ์เซอร์โดยใช้โครงสร้างควาวิตี้หลายเรโซเนเตอร์ที่ต่อแบบโคแอกเชียลควาวิตี้แบบต่อไขว้ที่ได้ทำการเพิ่มเทคนิคคาปาซิเตอร์โหลดที่มีประสิทธิภาพมากยิ่งขึ้นต่อไปในอนาคตได้

## บทที่ 2

### ทฤษฎีที่เกี่ยวข้อง

ในปัจจุบันนี้วงจรกรองความถี่มีความสำคัญต่องานในระบบการสื่อสารเป็นอย่างมากทุกรูปแบบ ทั้งแบบที่ใช้งานในย่านความถี่ต่ำและย่านความถี่ไมโครเวฟ ซึ่งวงจรกรองความถี่จะช่วยในการควบคุมผลตอบแทนของทางความถี่ที่ต้องการ โดยจะยอมให้สัญญาณในบางช่วงความถี่ที่ต้องการเท่านั้นที่จะสามารถผ่านไปได้ ซึ่งปกติแล้วเราจะสามารถแบ่งประเภทของวงจรกรองความถี่ออกได้เป็น 4 แบบคือ วงจรกรองความถี่ผ่านต่ำ (Low Pass) วงจรกรองความถี่ผ่านสูง (High Pass) วงจรกรองผ่านแถบ (Band Pass) และวงจรกรองจำกัดแถบ (Band Reject) โดยวงจรกรองความถี่นี้ได้นำมาใช้งานในหลายๆด้านไม่ว่าจะเป็นระบบการสื่อสาร โทรคมนาคมแบบไร้สายของโทรศัพท์มือถือ ระบบนำร่องไร้สายของเครื่องบิน หรือสามารถนำไปประยุกต์ใช้ในงานต่างๆต่อไป โดยต้องเลือกประเภทของวงจรกรองความถี่ให้เหมาะสมกับการใช้งานในแต่ละรูปแบบ

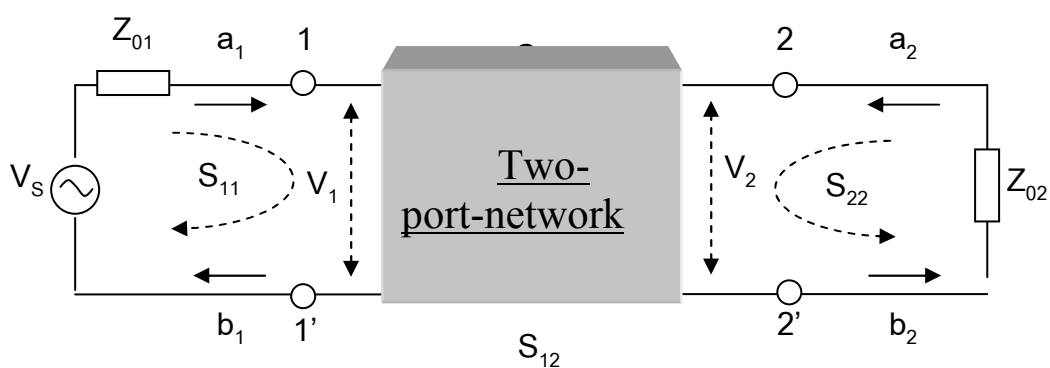
ในบทนี้จะกล่าวถึงทฤษฎีเบื้องต้นที่ใช้ในการคำนวณ คำนิยามต่างๆ และการนำทฤษฎีเบื้องต้นพื้นฐานไปใช้ในการออกแบบวงจรกรองความถี่ประเภทต่างๆ ที่กล่าวไว้ในข้างต้น และสามารถนำไปออกแบบวงจรกรองความถี่ในรูปแบบที่มีการประยุกต์ต่อไป

#### 2.1 พารามิเตอร์การส่งผ่าน

ลำดับแรกจะกล่าวถึงพารามิเตอร์การส่งผ่านที่จะพิจารณาสำหรับวงจรกรองความถี่ก่อน ซึ่งจะถูกพิจารณาเป็นโครงข่ายแบบสองพอร์ต (Two Port Network) ดังแสดงในภาพที่ 2-1 ประกอบด้วย

- 2.1.1 ค่าสัมประสิทธิ์การสะท้อนกลับทางด้านพอร์ตอินพุต หรือค่า  $S_{11}$  (Return Loss)
- 2.1.2 ค่าสัมประสิทธิ์การส่งผ่านจากพอร์ตอินพุตสู่พอร์ตเอาต์พุต หรือค่า  $S_{21}$  (Insertion Loss)
- 2.1.3 ค่าสัมประสิทธิ์การส่งผ่านจากพอร์ตเอาต์พุตสู่พอร์ตอินพุต หรือค่า  $S_{12}$
- 2.1.4 ค่าสัมประสิทธิ์การสะท้อนกลับทางด้านเอาต์พุต หรือค่า  $S_{22}$

โดยปกติจะพิจารณาค่าสัมประสิทธิ์การสะท้อนกลับทางด้านพอร์ตอินพุต หรือค่า  $S_{11}$  (Return Loss) และค่าสัมประสิทธิ์การส่งผ่านจากพอร์ตอินพุตสู่พอร์ตเอาต์พุต หรือค่า  $S_{21}$  (Insertion Loss) เป็นสำคัญ



ภาพที่ 2-1 โครงข่ายแบบสองพอร์ตและค่าสัมประสิทธิ์การส่งผ่าน  
กับค่าสัมประสิทธิ์การสะท้อนกลับ

$$S_{11} = \left. \frac{b_1}{a_1} \right|_{a_2=0} \quad S_{12} = \left. \frac{b_1}{a_2} \right|_{a_1=0} \quad (2-1 ก)$$

$$S_{21} = \left. \frac{b_2}{a_1} \right|_{a_2=0} \quad S_{22} = \left. \frac{b_2}{a_2} \right|_{a_1=0} \quad (2-1 ข)$$

เมื่อ  $a_n = 0$  ในกรณีที่อิมพีแดนซ์สอดคล้องกัน และไม่มีการสะท้อนกลับของคลื่น ณ พอร์ต  $n$  ดังนั้นจะสามารถเขียนในรูปสมการของเมทริกซ์ได้ว่า

$$\begin{bmatrix} b_1 \\ b_2 \end{bmatrix} = \begin{bmatrix} S_{11} & S_{12} \\ S_{21} & S_{22} \end{bmatrix} \begin{bmatrix} a_1 \\ a_2 \end{bmatrix} \quad (2-2)$$

สำหรับพารามิเตอร์  $S_{11}$  และ  $S_{22}$  ต่างก็เป็นสัมประสิทธิ์การสะท้อนกลับ โดยที่  $S_{12}$  และ  $S_{21}$  เป็นสัมประสิทธิ์การส่งผ่านดังที่ได้กล่าวมาแล้วในตอนต้น ซึ่งค่าพารามิเตอร์เหล่านี้เป็นค่าที่ใช้ในการพิจารณาสำหรับวงจรที่ใช้งานในย่านความถี่ไมโครเวฟโดยเฉพาะ โดยจะพิจารณาในด้านของ

ค่าขนาดและเฟส นั้นคือ  $S_{mn} = |S_{mn}| e^{j\phi_{mn}}$  เมื่อ  $m$  และ  $n$  มีค่าตั้งแต่ 1,2,... ในขณะที่ค่าทางขนาด มักพิจารณาในหน่วยของเดซิเบลจาก

$$20 \log |S_{mn}| \quad (2-3)$$

โดยค่าพารามิเตอร์การส่งผ่าน (Insertion Loss) ระหว่างพอร์ต  $n$  และ  $m$  จะนิยามว่าเป็น  $L_A$  และค่าพารามิเตอร์การสะท้อนกลับ (Return Loss) ที่พอร์ต  $n$  จะนิยามด้วย  $L_R$  ดังสมการ

$$L_A = -20 \log |S_{mn}| \dots m \neq n \quad (2-4)$$

$$L_R = 20 \log |S_{nn}|$$

โดยค่าพารามิเตอร์การสะท้อนกลับมีความสัมพันธ์กับอัตราส่วนแรงดันคลื่นนิ่ง (VSWR; Voltage Standing Wave Ratio) ดังสมการ

$$VSWR = \frac{1 + |S_{nn}|}{1 - |S_{nn}|} \quad (2-5)$$

นอกจากพารามิเตอร์การส่งผ่านที่ใช้ในการพิจารณาเพื่อการออกแบบวงจรกรองผ่านแถบความถี่ในย่านไมโครเวฟแล้ว ยังมีพารามิเตอร์ที่สำคัญอีกค่าหนึ่งที่มีผลอย่างยิ่งต่อการพิจารณา นั่นคือ เฟสหน่วง (Phase Delay,  $\tau_p$ ) ซึ่งเป็นความแตกต่างระหว่างเฟสของคลื่นทางพอร์ต อินพุตกับเฟสของคลื่นทางพอร์ตเอาต์พุต

$$\tau_p = \frac{\phi_{21}}{\omega} \quad (2-6 ก)$$

และกลุ่มหน่วง (Group Delay,  $\tau_d$ ) ซึ่งเป็นการพิจารณาความแตกต่างของเฟสเช่นเดียวกับ ในกรณีของเฟสหน่วง แต่คลื่นทางด้านอินพุตจะมีลักษณะเป็นเบสแบนด์ โดยที่พอร์ต 1 เป็นพอร์ตทางด้านอินพุตและพอร์ต 2 เป็นพอร์ตทางด้านเอาต์พุต

$$\tau_d = \frac{d\phi_{21}}{d\omega} \quad (2-6 ข)$$

ในการวิเคราะห์โครงข่ายแบบสองพอร์ต สามารถพิจารณาพารามิเตอร์การสะท้อนกลับทางด้านอินพุต( $S_{11}$ ) ร่วมกับค่าอิมพีแดนซ์ทางด้านอินพุต ( $Z_{01}$ ) หรือ แทนด้วย  $Z_{in} = V_1/I_1$  เทียบกับสมการที่ (2-1 ก) ได้ว่า

$$S_{11} = \frac{b_1}{a_1} \Big|_{a_2=0} = \frac{V_1 / \sqrt{Z_{01}} - I_1 \sqrt{Z_{01}}}{V_1 / \sqrt{Z_{01}} + I_1 \sqrt{Z_{01}}} \quad (2-7)$$

เมื่อแทนค่า  $V_1$  ด้วย  $Z_{in1} I_1$  จึงได้สมการใหม่เป็น

$$S_{11} = \frac{Z_{in1} - Z_{01}}{Z_{in1} + Z_{01}} \quad (2-7 ก)$$

ในการทำงานเดียวกัน จะได้พารามิเตอร์การสะท้อนกลับทางด้านเอาต์พุตดังสมการที่ (2-7 ข) โดยที่  $Z_{in2}$  มีค่าเท่ากับ  $V_2 / I_2$  ซึ่งเป็นอิมพีแดนซ์ทางด้านอินพุต หากพิจารณาทางด้านพอร์ต 2 เป็นพอร์ตทางด้านอินพุต

$$S_{22} = \frac{Z_{in2} - Z_{02}}{Z_{in2} + Z_{02}} \quad (2-7 ข)$$

ค่าพารามิเตอร์การสะท้อนกลับ และพารามิเตอร์การส่งผ่านมีประโยชน์อย่างมากต่อ การวิเคราะห์โครงข่าย ซึ่งหากเป็นโครงข่ายแบบสมมาตรจะได้ว่า  $S_{12} = S_{21}$  และ  $S_{11} = S_{22}$  และในกรณีที่ เป็นโครงข่ายแบบพาสซีฟที่ไม่มีการสูญเสียของคลื่น จะได้ว่ากำลังในการส่งผ่านกับกำลังในการสะท้อนกลับของคลื่นจะต้องเท่ากับกำลังส่งทั้งหมดที่ป้อนเข้าไปในโครงข่าย ดังนั้นจึงได้สมการ

$$S_{21} S_{21}^* + S_{11} S_{11}^* = 1 \quad \text{หรือ} \quad |S_{21}|^2 + |S_{11}|^2 = 1 \quad (2-8)$$

$$S_{12} S_{12}^* + S_{22} S_{22}^* = 1 \quad \text{หรือ} \quad |S_{12}|^2 + |S_{22}|^2 = 1$$

## 2.2 ทรานส์เฟอร์ฟังก์ชันสำหรับวงจรกรองความถี่

### 2.2.1 นิยามโดยทั่วไป

โดยทั่วไปแล้วในข่ายวงจรสองพอร์ตจะสามารถบรรยายผลตอบสนองของข่าย  $S_{21}$  ทางคณิตศาสตร์ได้ด้วยสมการทรานส์เฟอร์ฟังก์ชัน โดยจะแสดงเป็นขนาดกำลังสองของ  $S_{21}$  สำหรับวงจรกรองความถี่แบบพาสซีฟที่ไม่มีการสูญเสียสามารถเขียนสมการได้เป็น

$$|S_{21}(\Omega)|^2 = \frac{1}{1 + \varepsilon^2 F_n^2(\Omega)} \quad (2-9)$$

เมื่อ  $\varepsilon$  คือ ค่าคงที่การกระเพื่อม  $F_n(\Omega)$  คือ ฟังก์ชันคุณลักษณะของวงจรกรองความถี่ และ  $\Omega$  คือ ค่าตัวแปรที่ขึ้นอยู่กับความถี่ในหน่วยเรเดียน (Radian) ซึ่งวงจรกรองความถี่ต่ำผ่านต้นแบบ (Lowpass Prototype Filter) ความถี่คัทออฟที่  $\Omega = \Omega_c$  และ  $\Omega_c = 1$  เรเดียนต่อวินาที

สำหรับในส่วนกรณีของวงจรข่ายที่ไม่เปลี่ยนแปลงตามเวลาและเป็นเชิงเส้น (Linear Time Invariant Network) จะได้ทรานส์เฟอร์ฟังก์ชันคือ

$$S_{21}(p) = \frac{N(p)}{D(p)} \quad (2-10)$$

เมื่อ  $N(p)$  และ  $D(p)$  คือ ตัวแปรของโพลีโนเมียลความถี่เชิงซ้อน  $p = \alpha + j\Omega$  เมื่อในกรณีที่วงจรข่ายไม่มีการสูญเสียจะได้ว่า  $\sigma = 0$  และ  $p = j\Omega$  ในการหาค่าทรานส์เฟอร์ฟังก์ชันที่ตอบสนองโดยประมาณซึ่งหาได้จากสมการที่ (2-9) อัตราส่วนของค่าจำนวนจริง สามารถหาได้จากผลตอบสนองคุณลักษณะโดยประมาณซึ่งจะเรียกว่า ปัญหาโดยประมาณ (Approximation Problem) จากสมการที่ (2-9) สามารถหาค่าการสูญเสียใส่แทรกของวงจรกรองความถี่ได้เป็น

$$L_A(\Omega) = 10 \log \frac{1}{|S_{21}(j\Omega)|^2} \quad \text{dB} \quad (2-11)$$

สำหรับวงจรข่ายแบบที่ไม่มีการสูญเสีย  $|S_{11}|^2 + |S_{21}|^2 = 1$  สามารถหาค่าการสูญเสียย้อนกลับได้เท่ากับ

$$L_R(\Omega) = -10 \log [1 - |S_{21}(\Omega)|^2] \quad \text{dB} \quad (2-12)$$

สำหรับค่าของผลตอบสนองทางเฟสของวงจรกรอง จะหาได้จากสมการ

$$\Phi_{21} = \angle S_{21}(j\Omega) \quad (2-13)$$

และค่าของการหน่วงเวลากลุ่ม (Group Delay) ของวงจรถ่ายจะคำนวณได้โดย

$$\tau_d(\Omega) = \frac{\partial \Phi_{21}(\Omega)}{\partial \Omega} \quad (2-14)$$

เมื่อ  $\Phi_{21}(\Omega)$  อยู่ในหน่วยของเรเดียน และ  $\Omega$  อยู่ในหน่วยของเรเดียน/วินาที

### 2.2.2 โพลและซีโรของระนาบเชิงซ้อน

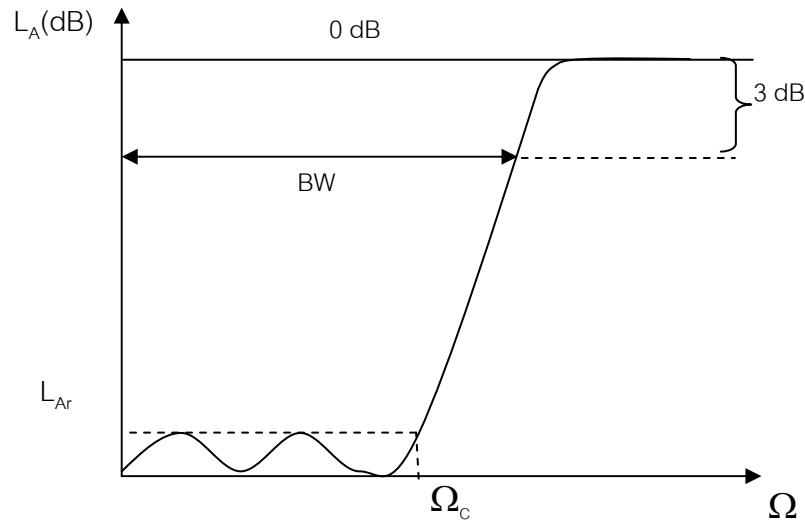
เมื่อระนาบของทรานส์เฟอ์ฟังก์ชัน  $(\sigma, \Omega)$  ถูกนิยามว่าเป็นระนาบเชิงซ้อน (Complex Plane) บนระนาบ  $p$  โดยกำหนดให้แกนอนเป็น  $\sigma$  หรือ แกนจริง ส่วนแกนตั้งเป็น  $j\Omega$  หรือ แกนจินตภาพ ถ้าค่า  $p$  ที่ฟังก์ชันมีค่าใกล้ศูนย์จะกลายเป็น Zeros ของฟังก์ชันนั้นและถ้าค่าของ  $p$  ที่ฟังก์ชันเข้าใกล้ระยะอนันต์จะกลายเป็นค่า pole ของฟังก์ชันนั้นไป ดังนั้นค่า Zeros ของ  $S_{21}$  จะเป็นรากของเศษ  $N(p)$  และ โพลของ  $S_{21}$  จะเป็นรากของส่วน  $D(p)$  เมื่อค่าของโพลเหล่านี้เป็นค่าความถี่ธรรมชาติของวงจรกรอง และ  $S_{21}$  เป็นผลตอบสนองของวงจรกรอง ในวงจรกรองแบบพาสซีฟที่เสถียรค่าของโพลจะต้องอยู่ทางซ้ายของระนาบ  $p$  ซึ่งจะทำให้ไม่เกิดการออสซิลเลชัน (Oscillation) ซึ่งเป็นคุณสมบัติของวงจรแบบพาสซีฟ ในส่วนรากของเศษหรือค่าซีโรนั้นจะสามารถเกิดได้ทุกค่าบนระนาบเชิงซ้อน และเราจะเรียกว่าซีโรนั้นถูกส่งผ่านที่ความถี่ใดๆ โดยโพลและซีโรของทรานส์เฟอ์ฟังก์ชันจะแสดงบนระนาบ  $P$ -plane สำหรับสิ่งที่แตกต่างกันก็คือตำแหน่งของโพล และซีโรบนแผนภาพนั่นเองซึ่งจะแสดงในรูปแบบของทรานส์เฟอ์ฟังก์ชัน

### 2.2.3 ผลตอบสนองแบบเชบีเชฟ

สำหรับผลตอบสนองของวงจรกรองความถี่ของงานวิจัยนี้เป็นแบบเชบีเชฟ และผลการตอบสนองแบบเชบีเชฟนี้จะมีการกระเพื่อมในแถบผ่านที่เท่ากัน (Equal Ripple) ดังที่แสดงในภาพที่ 2-2 ซึ่งเราสามารถหาค่าทรานส์เฟอ์ฟังก์ชันขนาดกำลังสองของผลตอบสนองได้เป็น

$$|S_{21}(\Omega)|^2 = \frac{1}{1 + \varepsilon^2 T_n^2(\Omega)} \quad (2-15)$$

เมื่อค่าคงที่การกระเพื่อม  $\varepsilon$  จะสัมพันธ์กับ  $L_{Ar}$  ในหน่วยเดซิเบล คือ



ภาพที่ 2-2 ผลตอบสนองของวงจรกรองความถี่ต่ำผ่านแบบเชบีเชฟ

$$\varepsilon = \sqrt{10^{\frac{L_{Ar}}{10}} - 1} \quad (2-16)$$

$$T_n(\Omega) = \begin{cases} \cos(n \cos^{-1} \Omega), & |\Omega| \leq 1 \\ \cosh(n \cosh^{-1} \Omega), & |\Omega| \geq 1 \end{cases} \quad (2-17)$$

ขณะที่  $T_n(\Omega)$  คือฟังก์ชันเชบีเชฟอันดับที่  $n$  ซึ่งจะนิยามตามสมการที่ (2-17)

ซึ่งฟังก์ชันของสัมประสิทธิ์การส่งผ่านในรูปของฟังก์ชันตัวแปรความถี่เชิงซ้อน ( $p$ ) ว่า

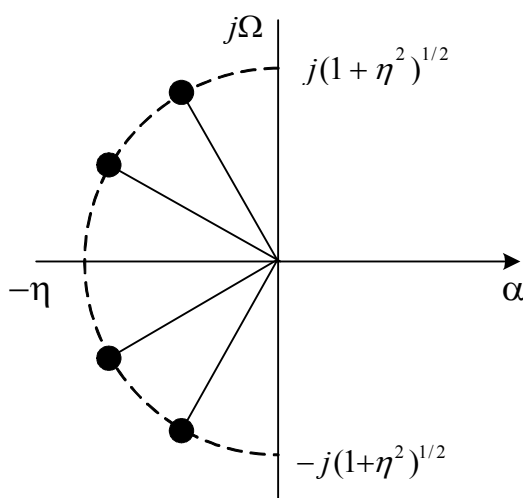
$$S_{21}(p) = \frac{\prod_{i=1}^n [\eta^2 + \sin^2(i\pi/n)]^{1/2}}{\prod_{i=1}^n (p + p_i)} \quad (2-18)$$

และ

$$p_i = j \cos \left[ \sin^{-1} j\eta + \frac{(2i-1)\pi}{2n} \right]$$

$$\eta = \sinh \left( \frac{1}{n} \sinh^{-1} \frac{1}{\varepsilon} \right)$$

ในกรณีแบนราบมากที่สุด คือ ตำแหน่งของซีโรรี่ของ  $S_{21}(p)$  จะอยู่ที่ระยะอนันต์ ดังนั้น ผลตอบสนองทางความถี่แบบเชบีเชฟ บางครั้งอาจถูกเรียกว่า วงจรกรองความถี่ที่สามารถควบคุม โพลทั้งหมดได้ อย่างไรก็ตามตำแหน่งโพลสำหรับกรณีเชบีเชฟจะต่างกันออกไปโดยจะอยู่บนเส้นรอบวงรีในครึ่งซ้ายของระนาบ โดยที่แกนหลักของวงรีคือแกน  $j\Omega$  และมีขนาดเท่ากับ  $\sqrt{1+\eta^2}$  และมีแกนรองคือแกน  $\sigma$  และมีขนาดเท่ากับ  $\eta$  โดยการกระจายของโพลจะแสดงในภาพที่ 2-4 สำหรับในกรณี  $n=4$  หมายความว่า หากพิจารณาทางด้านของฟังก์ชันการถ่ายโอนสำหรับวงจรกรองที่มีความชันสูง ค่าการส่งผ่านของซีโรรี่จะมีพิคคอยู่ที่ตำแหน่งอนันต์ ในขณะที่ตำแหน่งของโพลจะอยู่ทางระนาบด้านซ้ายของแกนจินตภาพ ซึ่งตำแหน่งของโพลหนึ่งตำแหน่งแทนค่าเฟสของเรโซเนเตอร์หนึ่งตัว ดังนั้น วงจรกรองความถี่ที่มีซีโพลจึงหมายถึงวงจรกรองความถี่ที่ใช้เรโซเนเตอร์สี่ตัวด้วยนั่นเอง

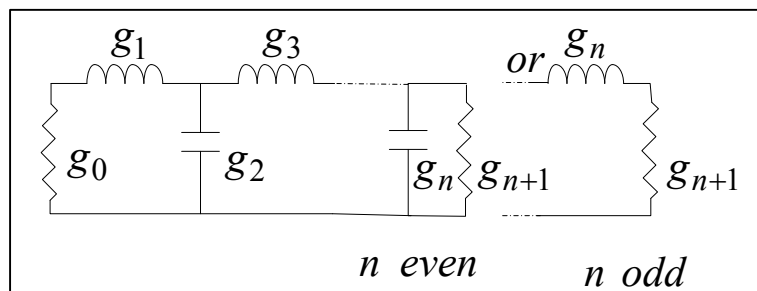


ภาพที่ 2-3 การกระจายโพลสำหรับผลตอบสนองของวงจรกรองเชบีเชฟ

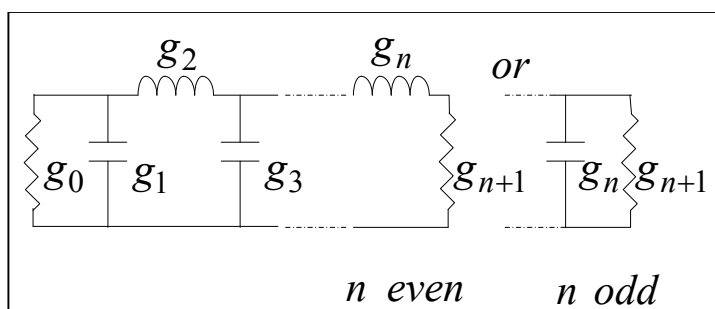
### 2.3 วงจรกรองความถี่ต่ำผ่านต้นแบบและองค์ประกอบ

การสังเคราะห์วงจรกรองความถี่เพื่อที่จะหาทรานเฟอร์ฟังก์ชันที่แท้จริง ส่วนใหญ่แล้วจะเริ่มต้นจากการใช้วงจรกรองความถี่ต่ำผ่านต้นแบบ (Lowpass Prototype Filters) เพื่อช่วยในการออกแบบโดยที่วงจรกรองความถี่ต่ำผ่านต้นแบบนี้จะใช้องค์ประกอบซึ่งถูกนอร์มอลไลซ์จาก

ความต้านทานหรือตัวนำแหล่งจ่ายเพื่อที่จะทำให้มีค่าเท่ากับ 1 โดยในที่นี้จะใช้สัญลักษณ์ด้วย  $g_0 = 1$  และความถี่คutoffจะเท่ากับ 1 คือ  $\Omega_c = 1$



ภาพที่ 2-4 วงจรกรองความถี่ต่ำผ่านต้นแบบโครงสร้างข่ายบันได



ภาพที่ 2-5 วงจรกรองความถี่ต่ำผ่านต้นแบบโครงสร้างวงจรคู่เสมือน

### 2.3.1 วงจรกรองความถี่ต่ำผ่านต้นแบบของวงจรแบบเชบีเชฟ

วงจรกรองความถี่ต่ำผ่านต้นแบบเชบีเชฟมีทรานส์เฟอ์ฟังก์ชันตามสมการที่ (2-9) โดยมีค่าการกระเพื่อมแถบผ่าน (Passband Ripple)  $L_{Ar}$  dB และมีความถี่คutoff  $\Omega_c = 1$  โดยค่าองค์ประกอบสามารถคำนวณโดยใช้สูตร

$$g_0 = 1$$

$$g_i = \frac{2}{\gamma} \sin\left(\frac{\pi}{2n}\right)$$

$$g_i = \frac{1}{g_{i-1}} \frac{4 \sin\left[\frac{(2i-1)\pi}{2n}\right] \cdot \sin\left[\frac{(2i-3)\pi}{2n}\right]}{\gamma^2 + \sin^2\left[\frac{(i-1)\pi}{n}\right]} \quad \text{สำหรับ } i=2,3,\dots,n \quad (2-19)$$

$$g_{n+1} = \begin{cases} 1 & , n = \text{odd} \\ \coth^2\left(\frac{\beta}{4}\right) & , n = \text{even} \end{cases}$$

และ

$$\beta = \ln\left[\coth\left(\frac{L_{Ar}}{17.37}\right)\right]$$

$$\gamma = \sinh\left(\frac{\beta}{2n}\right)$$

วิธีคำนวณหาค่าอันดับของวงจรกรองความถี่ต่ำผ่านต้นแบบเชบีเชฟสามารถทำได้โดยใช้สมการที่ (2-20) เมื่อ  $L_{Ar}$  dB คือระดับการกระเพื่อมในแถบผ่าน (Passband Ripple) ส่วน  $L_{As}$  คือค่าการลดทอนต่ำสุดในช่วงแถบหยุดที่  $\Omega = \Omega_s$

$$n \geq \frac{\cosh^{-1} \sqrt{\frac{10^{0.1L_{As}} - 1}{10^{0.1L_{Ar}} - 1}}}{\cosh^{-1} \Omega_s} \quad (2-20)$$

ในบางครั้งความสูญเสียย้อนกลับต่ำสุด (Minimum Return Loss ,  $L_R$ ) หรือค่า VSWR สูงสุดสามารถใช้หาค่าการกระเพื่อม  $L_{Ar}$  ได้ ถ้าความสูญเสียย้อนกลับถูกนิยามตามสมการที่ (2-4) และค่าความสูญเสียย้อนกลับต่ำสุด  $L_R$  dB  $L_R < 0$  ดังนั้นสามารถหา  $L_{Ar}$  ได้จาก

$$L_{Ar} = -10 \log\left[1 - 10^{0.1L_R}\right] \quad \text{dB} \quad (2-21)$$

และค่า VSWR หาได้จาก

$$VSWR = \frac{1 + |S_{11}|}{1 - |S_{11}|} \quad (2-22)$$

จากสมการที่ (2-22) แทนในสมการที่ (2-21)

$$L_{Ar} = -10 \log \left[ 1 - \left( \frac{VSWR - 1}{VSWR + 1} \right)^2 \right] \text{ dB} \quad (2-23)$$

สำหรับการแปลงจากผลตอบสนองของตัวแปรทางด้านความถี่กรอง และความถี่คutoff จากวงจรกรองความถี่ต่ำผ่านสู่ผลตอบสนองของวงจรกรองความถี่ผ่านแถบ สามารถแปลงได้ว่า

$$\Omega = \frac{\Omega_c}{FBW} \left[ \frac{\omega}{\omega_0} - \frac{\omega_0}{\omega} \right] \quad (2-24 ก)$$

โดยค่า Fractional Bandwidth ( $FBW$ ) เป็นอัตราส่วนของช่วงแถบความถี่ผ่านกับความถี่ศูนย์กลาง ส่วนค่า  $\omega_1$  และ  $\omega_2$  เป็นตำแหน่งของความถี่คutoffทางด้านต่ำ และทางด้านสูง ตามลำดับ

$$FBW = \omega_2 - \omega_1 \quad (2-24 ข)$$

$$\omega_0 = \sqrt{\omega_1 \omega_2} \quad (2-24 ค)$$

ส่วนขององค์ประกอบรีแอกแตนซ์  $g$  ของวงจรกรองความถี่ต่ำผ่านต้นแบบสามารถเขียนได้เป็น

$$j\Omega_c \rightarrow j\omega \frac{\Omega_c g}{FBW \cdot \omega_0} + \frac{1}{j\omega} \frac{\Omega_c \omega_0 g}{FBW} \quad (2-24 ง)$$

นั่นก็หมายความว่าค่าองค์ประกอบอินดักทีฟ/คาปาซิทีฟในวงจรกรองความถี่ต่ำผ่านต้นแบบ จะถูกแปลงเป็นวงจร LC อนุกรม/ขนาน ในวงจรกรองความถี่ผ่านแถบ โดยค่าองค์ประกอบใน วงจรอนุกรม LC ในวงจรกรองความถี่ผ่านแถบสามารถหาได้จาก

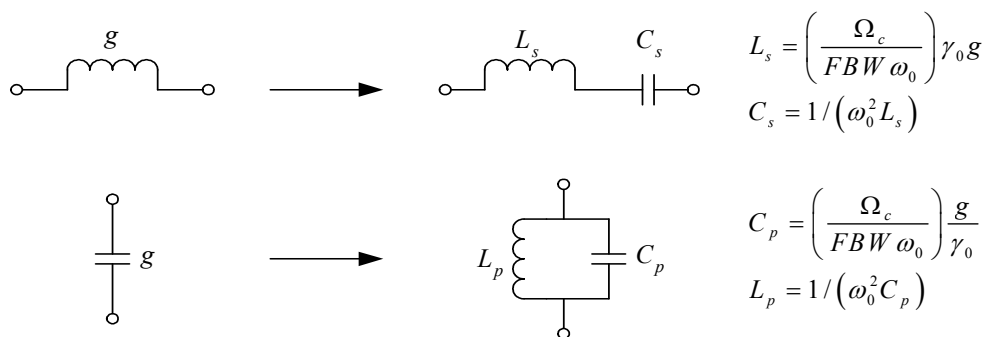
$$L_s = \left( \frac{\Omega_c}{FBW \cdot \omega_0} \right) \gamma_0 g$$

$$C_s = \left( \frac{FBW}{\omega_0 \Omega_c} \right) \frac{1}{\gamma_0 g} \quad \text{สำหรับ } g \text{ ที่แสดงเป็นอินดักทีฟ} \quad (2-25 ก)$$

ในการทำงานเดียวกันจะสามารถแปลงค่า  $g$  ให้อยู่ให้รูปวงจรถนนาน LC ในวงจรกรองความถี่ ผ่านแถบได้เป็น

$$C_p = \left( \frac{\Omega_c}{FBW \cdot \omega_0} \right) \frac{g_0}{\gamma_0}$$

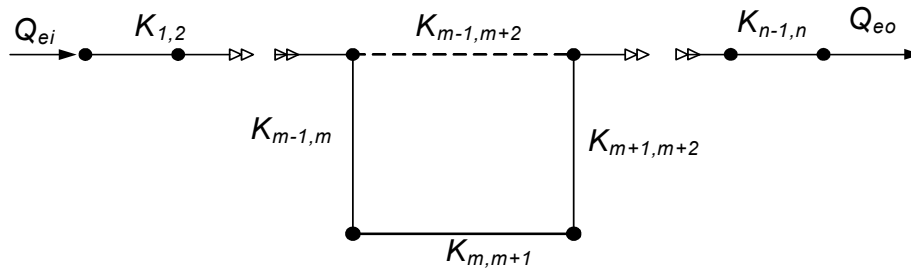
$$L_p = \left( \frac{FBW}{\Omega_c \omega_0} \right) \frac{\gamma_0}{g} \quad \text{สำหรับ } g \text{ ที่แสดงเป็นคาปาซิทีฟ} \quad (2.25 \text{ ข})$$



ภาพที่ 2-6 การแปลงองค์ประกอบพื้นฐานจากวงจรกรองความถี่ต่ำผ่านต้นแบบไปยังวงจรกรองความถี่ผ่านแถบ

## 2.4 การออกแบบวงจรกรองความถี่ขั้นประยุกต์

งานทางด้าน RF และไมโครเวฟประยุกต์ในปัจจุบันมีความต้องการวงจรกรองความถี่ที่มีคุณสมบัติที่ดีและแตกต่างไปจากวงจรกรองความถี่เซมิเซฟที่มีโดยทั่วไป ทั้งนี้เนื่องมาจากการที่ระบบการสื่อสารไร้สายมีข้อกำหนดและความต้องการที่จะใช้ความถี่อย่างมีประสิทธิภาพมากที่สุด ดังนั้นการออกแบบวงจรกรองความถี่จึงต้องมีวิธีการออกแบบพิเศษที่สามารถสอดคล้องกับเงื่อนไขที่กำหนดไว้ในเบื้องต้น โดยใช้เทคนิคต่าง ๆ เข้ามาช่วยในการออกแบบเพื่อเพิ่มประสิทธิภาพของวงจรกรองไม่ว่าจะเป็นการออกแบบโดยใช้คู่ของการส่งผ่านที่เป็นศูนย์ (Single Pair of Transmission Zeros) การต่อเรียงกันสี่ตัว (Cascaded Quadruplet, CQ) การต่อเรียงกันสามตัว (Trisection and Cascaded Trisection, CT) และอื่น ๆ อีกโดยในงานวิจัยนี้เลือกใช้ การออกแบบโดยใช้คู่ของการส่งผ่านที่เป็นศูนย์ และ CQ ในการออกแบบ ซึ่งจะมีโครงสร้างลักษณะการเชื่อมต่อดังภาพที่ 2-7



ภาพที่ 2-7 โครงสร้างของวงจรกรองผ่านแถบโดยใช้คู่ของการส่งผ่านที่เป็นศูนย์  
และเป็นการเรียงกันสี่ตัวแบบคลัปปลิงไขว้

ซึ่งในการออกแบบวงจรกรองโดยใช้คู่ของการส่งผ่านที่เป็นศูนย์ก็จะใช้สมการทรานส์เฟอร์ฟังก์ชันสำหรับวงจรกรองความถี่ที่ได้กล่าวไว้ในหัวข้อที่ 2.3 และสามารถหาค่าสัมประสิทธิ์การเชื่อมโยงระหว่างเรโซเนเตอร์ และค่าประสิทธิภาพภายในกับภายนอก ได้จากสูตรคำนวณดังต่อไปนี้

$$K_{i,i+1} = \frac{FBW}{\sqrt{g_i g_{i+1}}} \quad (2-26 \text{ ก})$$

$$K_{m,m+1} = FBW \frac{J_m}{g_m} \quad (2-26 \text{ ข})$$

$$K_{m-1,m+2} = FBW \frac{J_{m-1}}{g_{m-1}} \quad (2-26 \text{ ค})$$

$$Q_{ei} = Q_{eo} = \frac{g_1}{FBW} \quad (2-26 \text{ ง})$$

โดยที่ค่า FBW จะหาค่าได้จาก

$$FBW = \frac{f_2 - f_1}{f_0} \quad (2-27)$$

โดยที่  $f_2, f_1$  คือ ช่วงของแถบผ่าน

$f_0$  คือ ค่าความถี่กลางของวงจรกรองผ่านแถบ

$g_m$  คือ ค่าองค์ประกอบความถี่ต่ำผ่านต้นแบบ

FBW คือ แพรกซ์ลแนลแบนด์วิดท์

$J_m$  คือ ค่าแอดมิตแตนซ์คุณลักษณะของอินเวทเตอร์

ค่าพารามิเตอร์ในการออกแบบต่างๆเหล่านี้จะใช้ในการออกแบบอย่างแม่นยำเมื่อใช้ร่วมกับโปรแกรมจำลองทางไมโครเวฟ

### บทที่ 3

## การออกแบบวงจรกรองผ่านแถบและวงจรโคพเล็คซ์เซอร์แบบ โคแอกเชียลควิตีที่ใช้โพรบคลัปปลิงไขว้แบบคาปาซิทีฟ

ในบทนี้จะกล่าวถึงส่วนของการออกแบบวงจรโคพเล็คซ์เซอร์ ซึ่งต้องทำออกแบบวงจรกรองความถี่เป็นอันดับแรกก่อน ซึ่งขั้นตอนในการออกแบบมีวิธีการดังต่อไปนี้

1. การกำหนดคุณสมบัติค่าพารามิเตอร์ที่จำเป็นต่างๆ
2. ส่วนที่สองนั้นนำค่าพารามิเตอร์มาหาค่าองค์ประกอบตัวกรองความถี่ต้นแบบมาเพื่อใช้ในการกำหนดค่าคุณภาพภายนอก
3. ส่วนที่สามหาค่าสัมประสิทธิ์การเชื่อมต่อของแต่ละเรโซเนเตอร์ซึ่งจะได้ค่าระยะห่างระหว่างเรโซเนเตอร์ ขนาดความกว้างของกำแพง และระยะความยาวกับรัศมีของแท่งโพรบคลัปปลิงแบบคาปาซิทีฟ
4. ส่วนที่สี่จะเป็นขั้นตอนของการนำค่าพารามิเตอร์ต่างๆ ที่ได้ทำการคำนวณไว้ข้างต้นนำไปจำลองในโปรแกรมจำลองและปรับจูนค่าพารามิเตอร์ของวงจรกรองความถี่ผ่านแถบแบบโคแอกเชียลควิตีที่ใช้โพรบคลัปปลิงไขว้แบบคาปาซิทีฟให้ได้ผลการตอบสนองความถี่ที่เหมาะสมมากที่สุด
5. ในส่วนสุดท้าย เมื่อได้ทำการปรับจูนค่าพารามิเตอร์เสร็จเรียบร้อยแล้ว ก็ทำการออกแบบวงจรโคพเล็คซ์เซอร์แบบโคแอกเชียลควิตีที่ใช้โพรบคลัปปลิงไขว้แบบคาปาซิทีฟต่อไปได้ โดยนำวงจรกรองที่ได้ทั้งด้านรับและด้านส่ง ทั้งสองมาประกอบรวมกันเป็นวงจรโคพเล็คซ์เซอร์ โดยต้องทำการออกแบบวงจรรวมสัญญาณของทั้งสองช่วงความถี่นี้เข้าด้วยกันซึ่งจะอธิบายในลำดับต่อไป

#### 3.1 การออกแบบวงจรกรองผ่านแถบบ้านรับในช่วงความถี่ (1.92GHz - 1.98GHz)

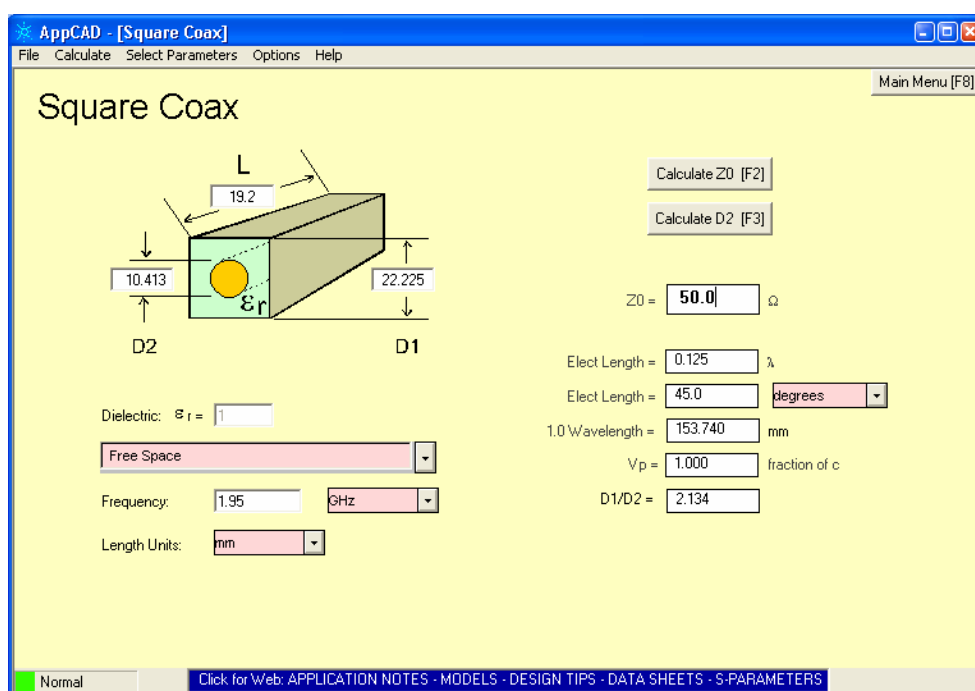
3.1.1 เริ่มต้นต้องกำหนดคุณสมบัติต่างๆ ของวงจรกรองผ่านแถบที่ต้องการออกแบบ โดยจะมีค่าพารามิเตอร์ที่สำคัญคือ ความถี่กลาง ( $f_0$ ) แบนด์วิดท์ (BW) ค่าการสูญเสียของช่วงความถี่ผ่าน ( $S_{21}$ ) ค่าอิมพีแดนซ์คุณลักษณะ ( $Z_0$ ) ค่าสัมประสิทธิ์การสะท้อน ( $S_{11}$ ) ขนาดของการกระเพื่อม ( $L_{AR}$ ) จำนวนของเรโซเนเตอร์ (n) เพื่อกำหนดคุณลักษณะของวงจรกรองผ่านแถบตามที่ต้องการ โดยจะกำหนดค่าในการออกแบบต่างๆ ดังในตารางที่ 3-1

3.1.2 กำหนดขนาดของตัวกรองความถี่ต้นแบบ เริ่มจากการหาขนาดของกล่องควาวิตี้ โครงสร้างแบบโคแอกเซียลขนาดหนึ่งเรโซเนเตอร์ก่อน โดยสามารถหาได้จากโปรแกรม AppCAD for Window ซึ่งค่าคุณสมบัติต่างๆ ของวงจรกรองผ่านแถบด้านรับมาจากตารางที่ 3-1 ที่จะนำมาใช้หาองค์ประกอบตัวกรองความถี่ ต้นแบบได้

ตารางที่ 3-1 ค่าคุณสมบัติต่างๆ ของวงจรกรองผ่านแถบด้านแถบรับ

ค่าความถี่กลาง ( $f_0$ )	1950 MHz
ค่าแบนด์วิดท์ที่ -3 dB (BW)	60 MHz
ค่าการสูญเสียของช่วงความถี่ผ่าน ( $S_{21}$ )	ไม่เกิน 3 dB
ค่าอิมพีแดนซ์คุณลักษณะ ( $Z_0$ )	50 โอห์ม
ค่าสัมประสิทธิ์การสะท้อน ( $S_{11}$ )	-20dB
ขนาดของการกระเพื่อม ( $L_{AR}$ )	ไม่เกิน 0.1 dB
ชนิดของวงจรผ่านแถบ	เชบีเชฟ
จำนวนของเรโซเนเตอร์ (n)	4

ค่าพารามิเตอร์ในตารางนำมาออกแบบโดยใช้โปรแกรม AppCAD for Windows ได้ผลดังภาพที่ 3-1



ภาพที่ 3-1 การคำนวณหาขนาดของโคแอกเซียลควาวิตี้ด้วยโปรแกรม Appcad for Window

จากในภาพที่ 3-1 เป็นการคำนวณหาขนาดของกล่องโคแอกเซียลควิตี้ โดยจะกำหนดให้โครงสร้างโคแอกเซียลเรโซเนเตอร์มีความยาวทางไฟฟ้า (Electrical Length) เริ่มต้นที่ประมาณ  $\lambda/8$  หรือ  $\theta_0 = 45^\circ$  ที่ความถี่กลาง 1.950 GHz ได้กำหนดค่าต่างๆอื่นอีกไว้ด้วยดังต่อไปนี้

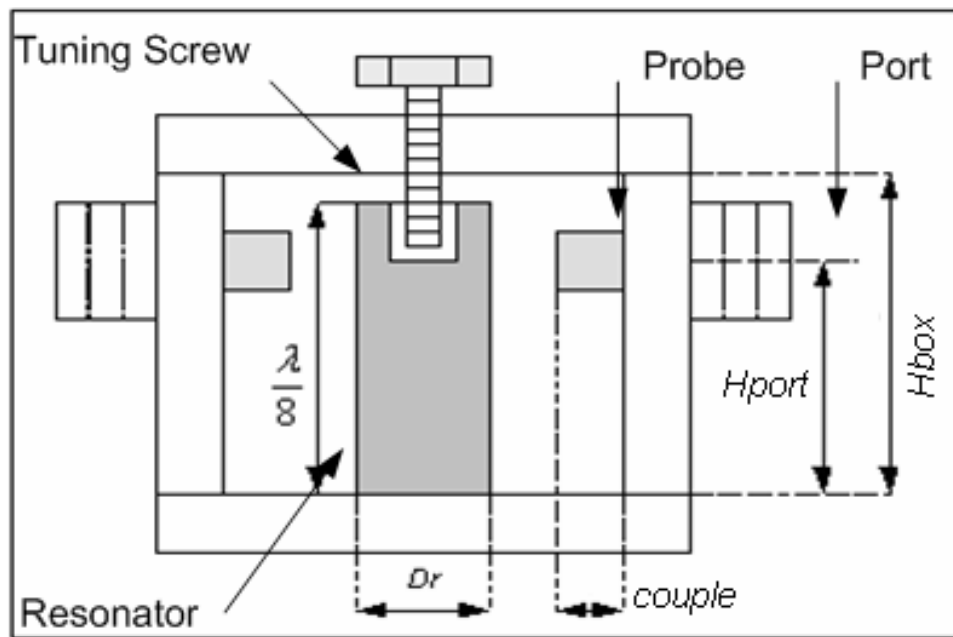
ค่า Dielectric $\epsilon_r$ ของฉนวนตัวนำกำหนดให้เป็นสูญญากาศ	= 1
ค่าความถี่กลางของวงจรความถี่ด้านรับ	= 1.95 GHz
กำหนดหน่วยมาตรวัด	= มิลลิเมตร (mm)
ค่าอิมพีแดนซ์คุณลักษณะ ( $Z_0$ )	= 50 $\Omega$
ความยาวทางไฟฟ้า	= 0.125 $\lambda$
ความยาวทางไฟฟ้า	= 45 degrees
ความยาวคลื่น	= 153.470 mm
$V_p$	= 1 fraction of c
D1/D2	= 2.134

เมื่อทำการสั่งให้โปรแกรม AppCAD คำนวณผล ก็จะได้ขนาดของกล่องโคแอกเซียล ควิตี้ ดังนี้

ความสูงของแท่งเรโซเนเตอร์	= 19.2 mm
กล่องมีขนาดกว้าง x ยาว	= 22.225 mm x 22.225 mm
เส้นผ่านศูนย์กลางของแท่งเรโซเนเตอร์	= 10.413 mm

ต่อจากนั้นจึงนำค่าพารามิเตอร์ที่ได้จากการคำนวณด้วยโปรแกรม AppCAD นี้ นำไปออกแบบด้วยโปรแกรมออกแบบทางไมโครเวฟ (CST Software EM Simulation) ตามโครงสร้างในภาพ ที่ 3-2 ซึ่งในการกำหนดเนื้อวัสดุในโปรแกรมออกแบบไมโครเวฟนี้ ได้เลือกเนื้อวัสดุชิ้นงานให้สอดคล้องกับวัสดุที่สามารถสร้างได้จริง สามารถกัดชิ้นงานได้ง่าย มีราคาถูก และสามารถทำการปรับจูนผลการตอบสนองทางความถี่ได้ จึงเลือกใช้โครงสร้างที่เป็นเรโซเนเตอร์แบบโคแอกเซียลควิตี้ี้ โดยกำหนดให้ใช้แท่งอลูมิเนียมอัลลอยด์ (Aluminum Alloy) ทรงตันนำมากัดตามรูปทรงที่ได้ออกแบบไว้ และใช้พอร์ตป้อนสัญญาณเป็นแบบ N-type ค่าอิมพีแดนซ์เท่ากับ 50  $\Omega$  และใช้แท่งทองเหลืองทรงกระบอกเป็นโพรบ (Probe) วางไว้ด้านบนฝากล่องด้านนอกเพื่อเป็นตัวปรับค่า และวางไว้บนตำแหน่งของแต่ละเรโซเนเตอร์ด้วยเช่นกัน สาเหตุที่เลือกใช้วัสดุที่ทำมาทองเหลืองนั้นเพราะหน้าสัมผัสของทองเหลืองจะมีความยืดหยุ่นดีกว่าวัสดุชิ้นอื่นเช่น อลูมิเนียม

หรือทองแดง เมื่อเวลาทำการปรับค่าค่าเกลิยวของน้อตทองเหลืองตัวปรับค่าจะได้แนบสนิทกับฝากล่องได้มากที่สุด เพื่อไม่ให้สัญญาณภายในหลุดรอดออกมา และในส่วนการวางตำแหน่งของพอร์ต N-type จะต้องทำการปรับค่าพารามิเตอร์ต่างๆจากการคำนวณก่อน เพื่อให้ได้ผลการตอบสนองตรงกับความถี่ที่ออกแบบไว้ในตอนต้นนั้นให้ถูกต้องมากที่สุด ก่อนที่จะนำมาสร้างวงจรกรองผ่านแถบที่มีหลาย เรโซเนเตอร์ในขั้นต่อไป



ภาพที่ 3-2 ขนาดต่างๆของเรโซเนเตอร์ที่ใช้ในการออกแบบ

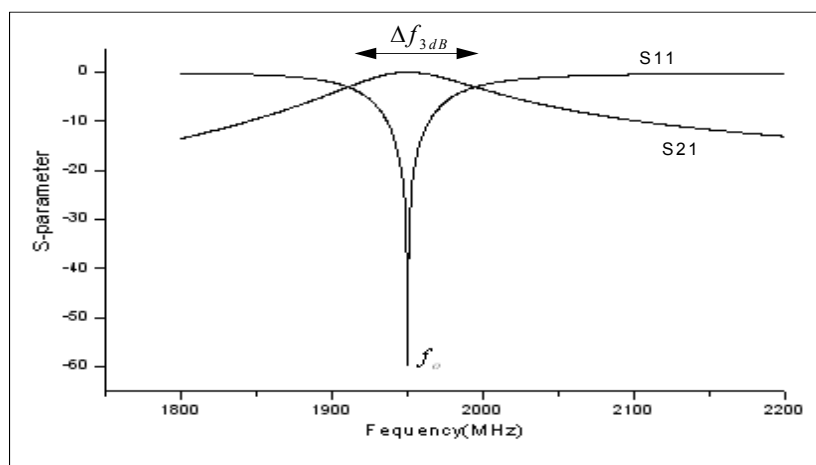
ลำดับต่อมาคือการหาขนาดและระยะการจัดวางของหัวโพรบอินพุตและเอาต์พุต ซึ่งจะใช้ค่าตัวประกอบคุณภาพภายนอก  $Q_e$  เป็นตัวกำหนดค่าพารามิเตอร์โดยจะสามารถคำนวณตามสมการที่ (2-20) และ (2-21) จากพารามิเตอร์ในตารางที่ 3-1 จะสามารถคำนวณหาค่าตัวประกอบคุณภาพภายนอกทั้งอินพุตและเอาต์พุตเท่ากับ 30.3268 ( $Q_{ei} = Q_{eo} = 30.3268$ ) เมื่อได้ค่าตัวประกอบคุณภาพภายนอกจากการคำนวณแล้ว ต่อไปจะทำการหาค่าพารามิเตอร์ระยะการวางของพอร์ต โดยจะใช้โปรแกรมจำลองทางไมโครเวฟช่วยในการหาค่าการวางตำแหน่งของพอร์ต โดยเมื่อปรับความยาวของหัวพอร์ต ขนาดรัศมี ความสูงของหัวพอร์ต และความสูงของกล่องควิต์ ซึ่งในการปรับค่าพารามิเตอร์ทั้งสิ้นนี้จะมีผลทำให้ผลตอบสนองทางความถี่เปลี่ยนแปลงไปด้วย โดยในการปรับค่าพารามิเตอร์นั้นต้องการให้ผลตอบสนองความถี่ที่ความถี่กลางและค่าแบนด์วิทที่ -3dB เท่ากับ 60MHz ผลการจำลองแสดงไว้ในภาพที่ 3-3 จากความสัมพันธ์ระหว่างค่าพารามิเตอร์ต่างๆกับผลตอบสนองทางความถี่ได้แสดงไว้ในภาพที่ 3-4 ถึงภาพที่ 3-7

ในส่วนของคุณค่าตัวประกอบคุณภาพภายนอกจากการจำลองโครงสร้างตัวกรองความถี่ต้นแบบ จะสามารถหาได้ว่า ตัวประกอบคุณภาพภายนอกจะเท่ากับค่าความถี่กลางของตัวกรองความถี่ต้นแบบหารด้วยแบนด์วิธที่ -3 dB ดังที่แสดงในสมการที่ (3-1)

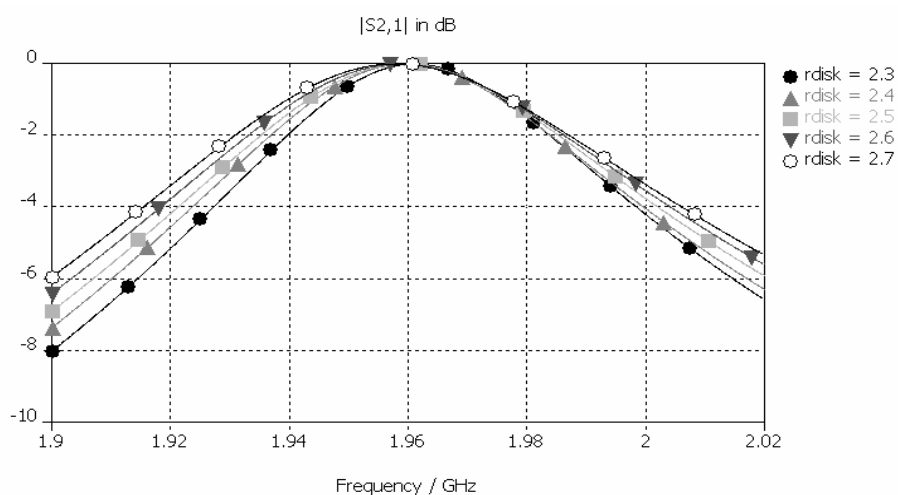
$$Q_e = \frac{f_o}{\Delta f_{3dB}} \quad (3-1)$$

เมื่อ  $f_o$  คือ ความถี่กลางของตัวกรองความถี่ต้นแบบ

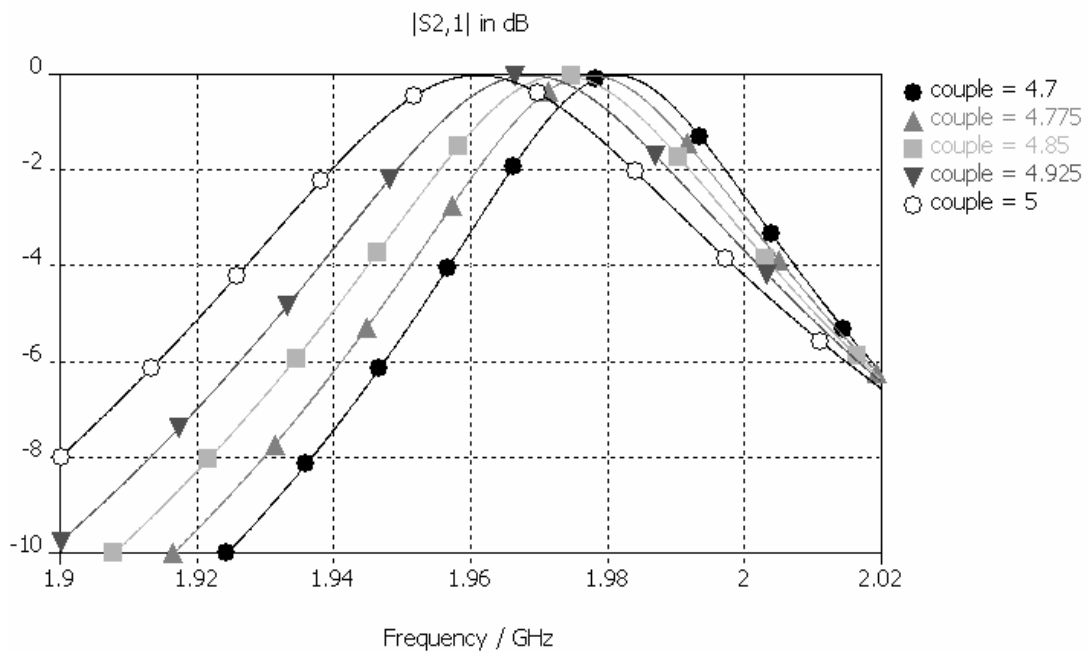
$\Delta f_{3dB}$  คือ แบนด์วิธที่ -3 dB



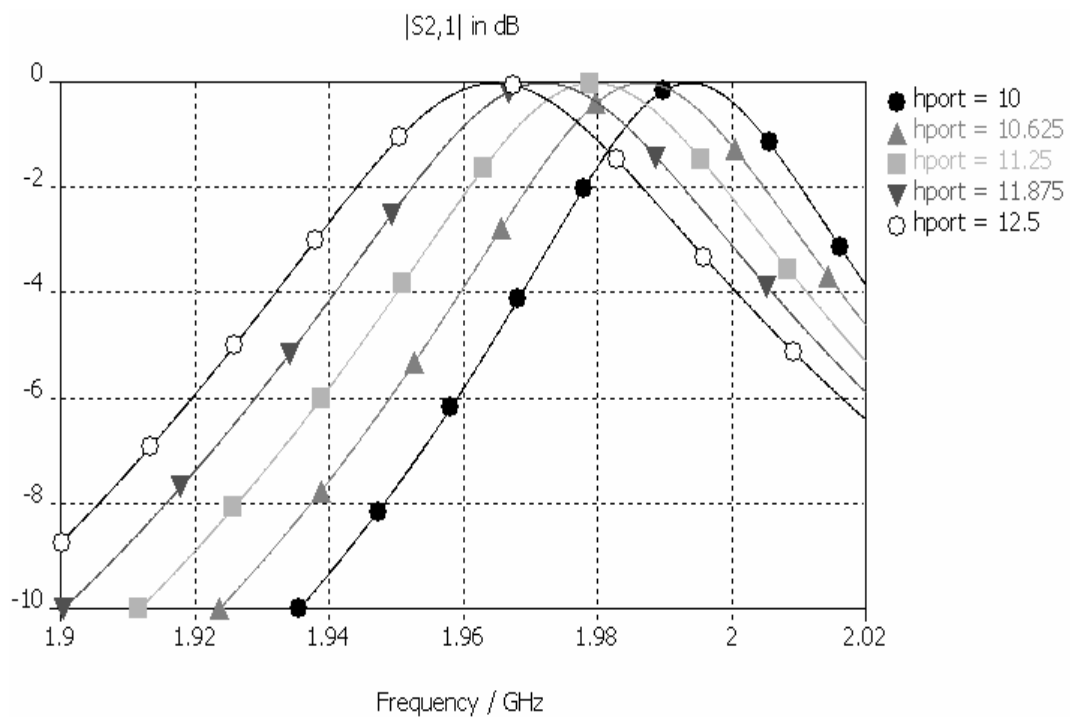
ภาพที่ 3-3 ผลตอบสนองทางความถี่จากการกระตุ้นเรโซเนเตอร์ด้วยโปรแกรมจำลองทางไมโครเวฟ



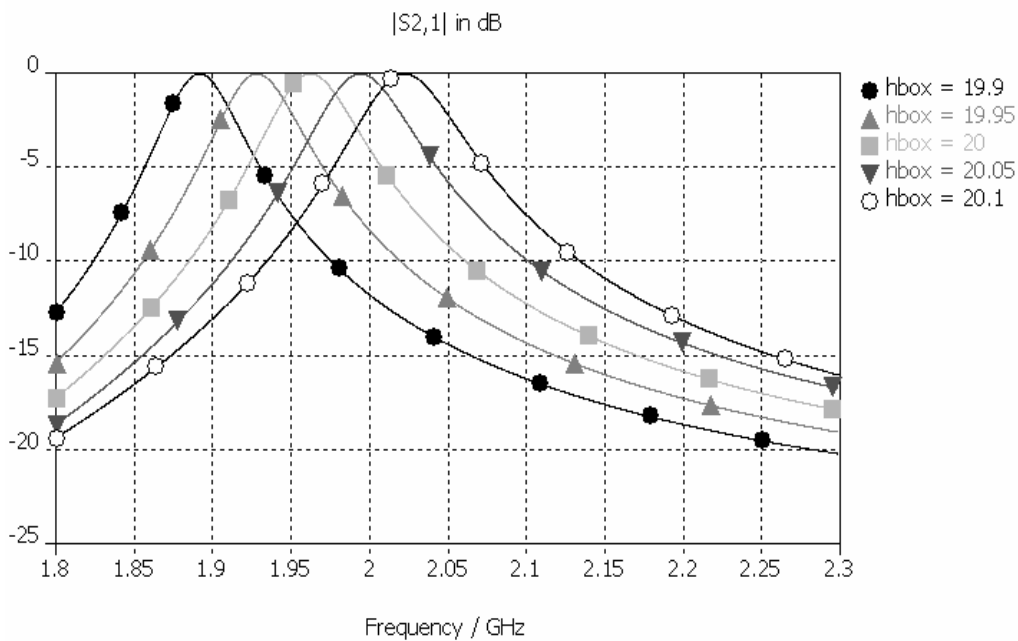
ภาพที่ 3-4 ผลตอบสนองทางความถี่จากการจำลองเมื่อเปลี่ยนขนาดรัศมีของหัวโพรบ (Rdisk)



ภาพที่ 3-5 ผลตอบสนองทางความถี่จากการจำลองเมื่อทำการเปลี่ยนขนาดความยาวของหัวโพรบ (Couple)



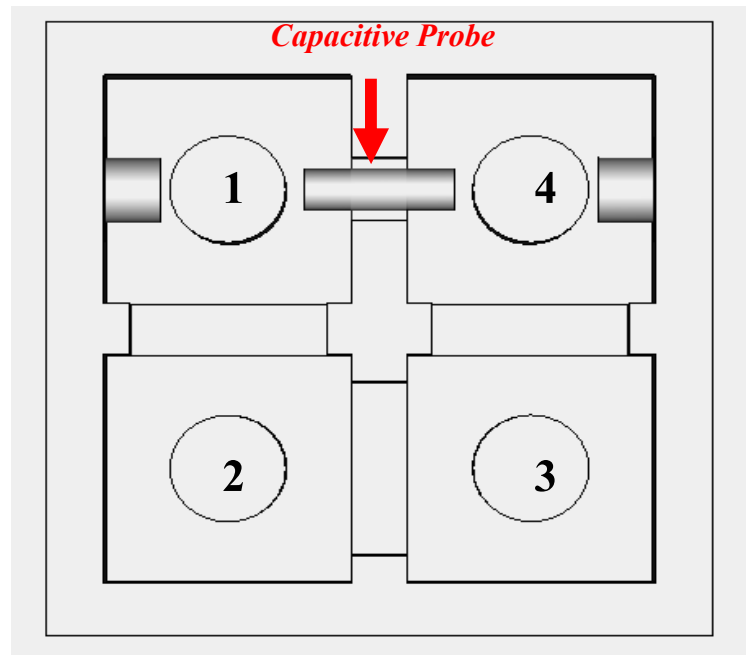
ภาพที่ 3-6 ผลการจำลองผลตอบสนองทางความถี่เมื่อทำการเปลี่ยนระยะความสูงของหัวพอร์ต (Hport)



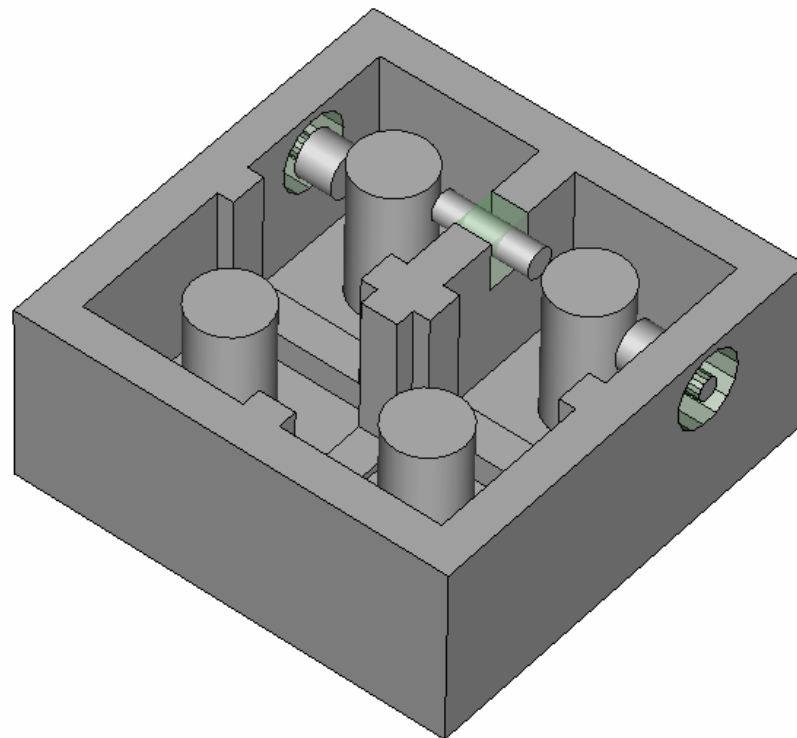
ภาพที่ 3-7 ผลการจำลองผลตอบสนองทางความถี่การเปลี่ยนระยะความสูงของกล่องควาวิตี้ (Hbox)

จากความสัมพันธ์ของการปรับค่าพารามิเตอร์ทั้งสี่นี้ เมื่อทำการปรับค่ารัศมีของหัวพอร์ตให้เพิ่มมากขึ้นแบนด์วิธของผลตอบสนองทางความถี่ก็จะเพิ่มขึ้นตามไปด้วย เมื่อทำการปรับค่าความยาวของพอร์ตให้ยาวขึ้นค่าความถี่กลางจะเลื่อนต่ำลง เมื่อทำการปรับค่าความสูงของพอร์ตให้สูงมากขึ้นความถี่กลางจะลดลง และเมื่อปรับค่าระยะความสูงของกล่องควาวิตี้ให้สูงขึ้นค่าความถี่กลางจะเพิ่มขึ้นตามไปด้วย โดยในการเลือกพารามิเตอร์ที่เหมาะสมนี้จะกำหนดค่าความถี่กลางเท่ากับ 1.95 GHz แบนด์วิธที่-3dB ประมาณ 60MHz แล้วเมื่อทำการปรับค่าทั้งหมดใหม่อีกครั้งจะทำให้ได้ค่ารัศมีของหัวพอร์ตเท่ากับ 3.4445mm ค่าความยาวของหัวพอร์ตเท่ากับ 4.95mm ค่าความสูงของหัวพอร์ตมีค่าประมาณ 12mm ความสูงกล่องควาวิตี้ประมาณ 20 mm

เมื่อได้ตำแหน่งของพอร์ต,ขนาดของกล่องควาวิตี้และค่าความสูงของแท่งเรโซเนเตอร์แล้ว ต่อมาจึงนำเรโซเนเตอร์มาต่อให้เป็นคัลป์ลิงแบบไขว้กันจำนวน 4 เรโซเนเตอร์ โดยมีแท่งคาปาซิทีฟโพลดวงอยู่ระหว่างเรโซเนเตอร์ที่ 1 กับ 4 เพื่อให้เกิดการคัลป์ลิงที่ปลายระหว่างเรโซเนเตอร์ 1 กับ 4 มากขึ้น โดยแท่งคาปาซิทีฟนี้จะทำหน้าที่เสมือนเป็นตัวคาปาซิเตอร์ในวงจรสมมูล ดังภาพที่ 3-8 และ ภาพที่ 3-9

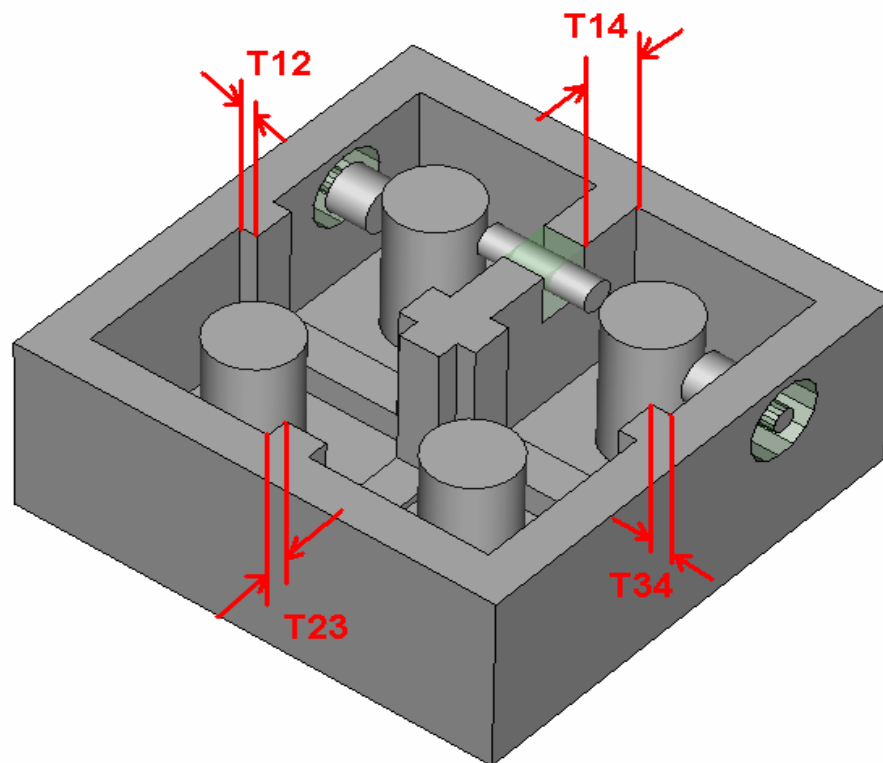


ภาพที่ 3-8 การจัดวางตำแหน่งของเรโซเนเตอร์ตามลำดับตัวเลขและแท่งโพรบคาปาซิทีฟ



ภาพที่ 3-9 การจัดวางตำแหน่งของเรโซเนเตอร์และแท่งโพรบคาปาซิทีฟเมื่อได้ทำการ  
ออกแบบลงในโปรแกรม CST 5.0

3.1.3 การกำหนดค่าความหนาของกำแพง ตามภาพที่ 3-10 เมื่อได้ขนาดของตัวรองความถี่ ต้นแบบครบถ้วนแล้วในขั้นตอนต่อไป ก็จะทำการหาค่าความหนาของกำแพงกันระหว่างเรโซเนเตอร์ในรูปแบบของค่า T ซึ่งค่า T (Thickness) นี้จะมีความสัมพันธ์กับค่าสัมประสิทธิ์การเชื่อมต่อ (K) เมื่อค่าสัมประสิทธิ์การเชื่อมต่อนี้จะสามารถคำนวณตามคุณสมบัติที่กำหนดไว้ในตารางที่ 3-1 โดยใช้สมการที่ 2-26 จะได้ค่าสัมประสิทธิ์การเชื่อมต่อของแต่ละตัวเรโซเนเตอร์ดังนี้คือ ระหว่างเรโซเนเตอร์ตัวที่ 1 กับ 4 จะมีค่าสัมประสิทธิ์การเชื่อมต่อ  $K_{14}$  เท่ากับ 0.005246 ระหว่างเรโซเนเตอร์ตัวที่ 2 กับ 3 จะมีค่าสัมประสิทธิ์การเชื่อมต่อ  $K_{23}$  เท่ากับ 0.02361 ระหว่างเรโซเนเตอร์ตัวที่ 1 กับ 2 และ 3 กับ 4 ซึ่งมีค่าสัมประสิทธิ์การเชื่อมต่อที่เท่ากันจะได้  $K_{12}$  และ  $K_{34}$  เท่ากับ 0.02679 เมื่อได้ค่าสัมประสิทธิ์การเชื่อมต่อระหว่างเรโซเนเตอร์แล้วก็จะนำมาหาค่าความหนาของ T ที่ทำให้ค่าสัมประสิทธิ์การเชื่อมต่อเท่ากับที่ได้คำนวณไว้ โดยค่าความหนาของ T จะมีความสัมพันธ์กับค่าสัมประสิทธิ์การเชื่อมต่อเป็นคู่กันระหว่างเรโซเนเตอร์ดังนี้คือ ค่าสัมประสิทธิ์การเชื่อมต่อ  $K_{14}$  และใช้กำหนดขนาดของ  $T_{14}$  ค่าสัมประสิทธิ์การเชื่อมต่อ  $K_{23}$  จะใช้กำหนดขนาดความหนาของกำแพง  $T_{23}$  และค่าสัมประสิทธิ์การเชื่อมต่อ  $K_{12}$  จะใช้กำหนดขนาดกำแพงของ  $T_{12}$ ,  $T_{34}$  ซึ่งจะมีรูปแบบการเชื่อมต่อดังที่ได้แสดงในภาพที่ 3-10



ภาพที่ 3-10 ความหนาของกำแพงเชื่อมต่อ T

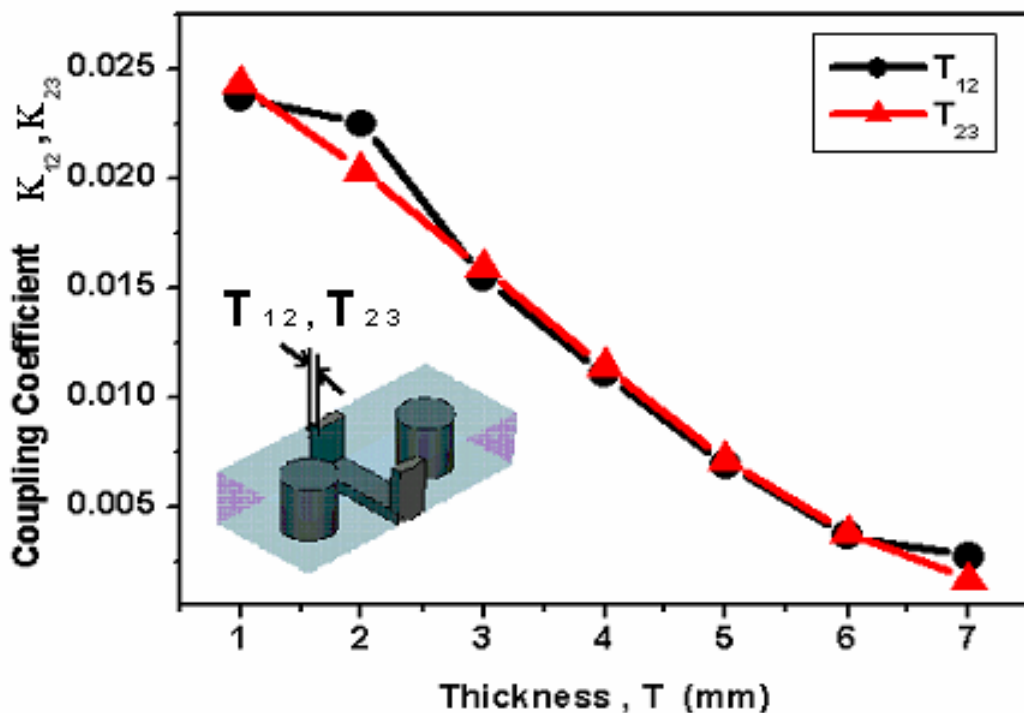
สำหรับวิธีการหาขนาดความหนาของกำแพง T จะเริ่มจากการจำลองผลตอบสนองทางความถี่ระหว่างสองเรโซเนเตอร์โดยจะทำการเปลี่ยนแปลงค่า T ไปทีละค่าแล้วดูว่าจะได้ค่าสัมประสิทธิ์การเชื่อมต่อเป็นเท่าใด ซึ่งสามารถคำนวณค่าสัมประสิทธิ์การเชื่อมต่อของแต่ละเรโซเนเตอร์จากการจำลองได้จากสมการที่ (3-2)

$$K_{ij} = \frac{f_{p2}^2 - f_{p1}^2}{f_{p2}^2 + f_{p1}^2} \quad (3-2)$$

เมื่อ  $f_{p1}$  คือ ผลการตอบสนองทางความถี่ที่เกิดเรโซแนนซ์ด้านต่ำของ  $S_{21}$

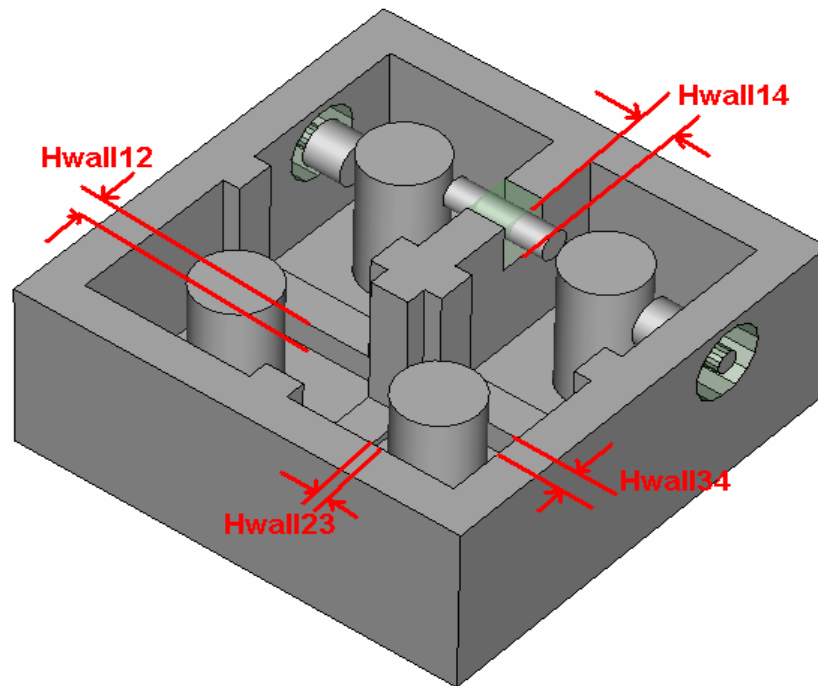
$f_{p2}$  คือ ผลการตอบสนองทางความถี่ที่เกิดเรโซแนนซ์ด้านสูงของ  $S_{21}$

เมื่อเปลี่ยนค่าความหนาของกำแพง T จะทำให้ได้ค่าสัมประสิทธิ์การเชื่อมต่อที่แตกต่างกัน โดยในที่นี้รูปแบบการต่อเชื่อมระหว่างเรโซเนเตอร์ดังแสดงในภาพที่ 3-11

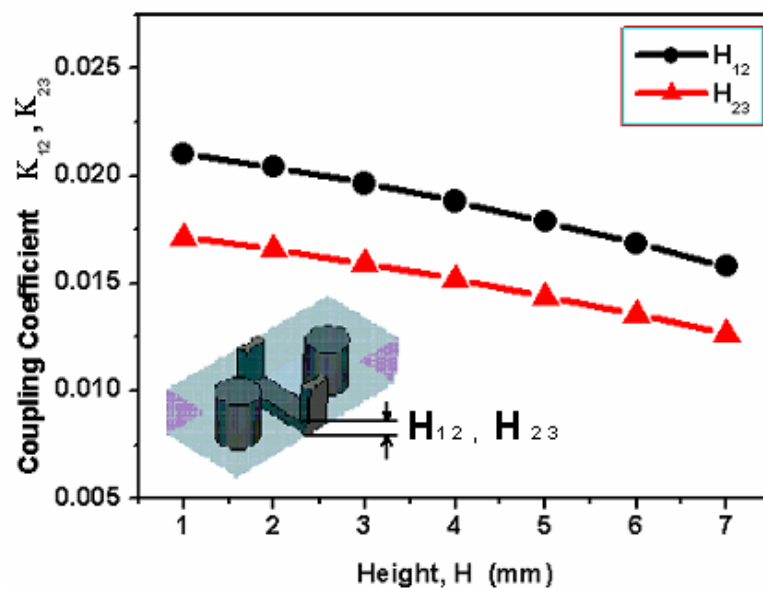


ภาพที่ 3-11 ความสัมพันธ์ระหว่างค่าสัมประสิทธิ์การเชื่อมต่อกับความหนาของกำแพงกั้นระหว่างเรโซเนเตอร์

เมื่อได้ขนาดความหนาของกำแพงแล้วจึงทำการหาค่าความสัมพันธ์ระหว่างค่าสัมประสิทธิ์การเชื่อมต่อกับความสูงของกำแพงที่กั้นไว้ระหว่างเรโซเนเตอร์ต่อดังแสดงภาพที่ 3-12

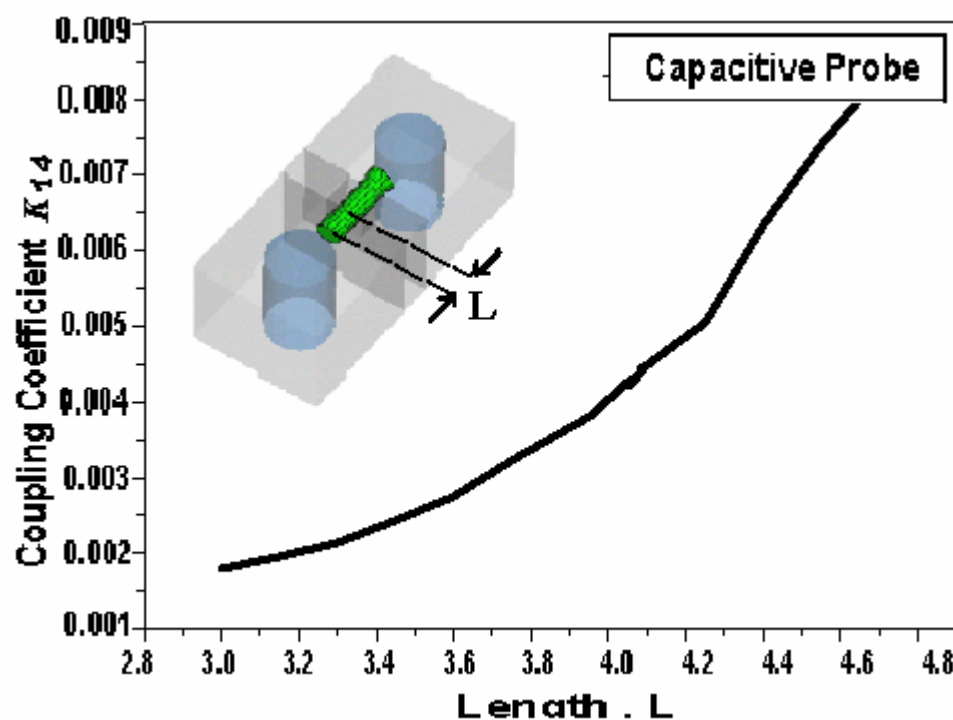


ภาพที่ 3-12 ความสูงของกำแพงเชื่อมต่อ Hwall



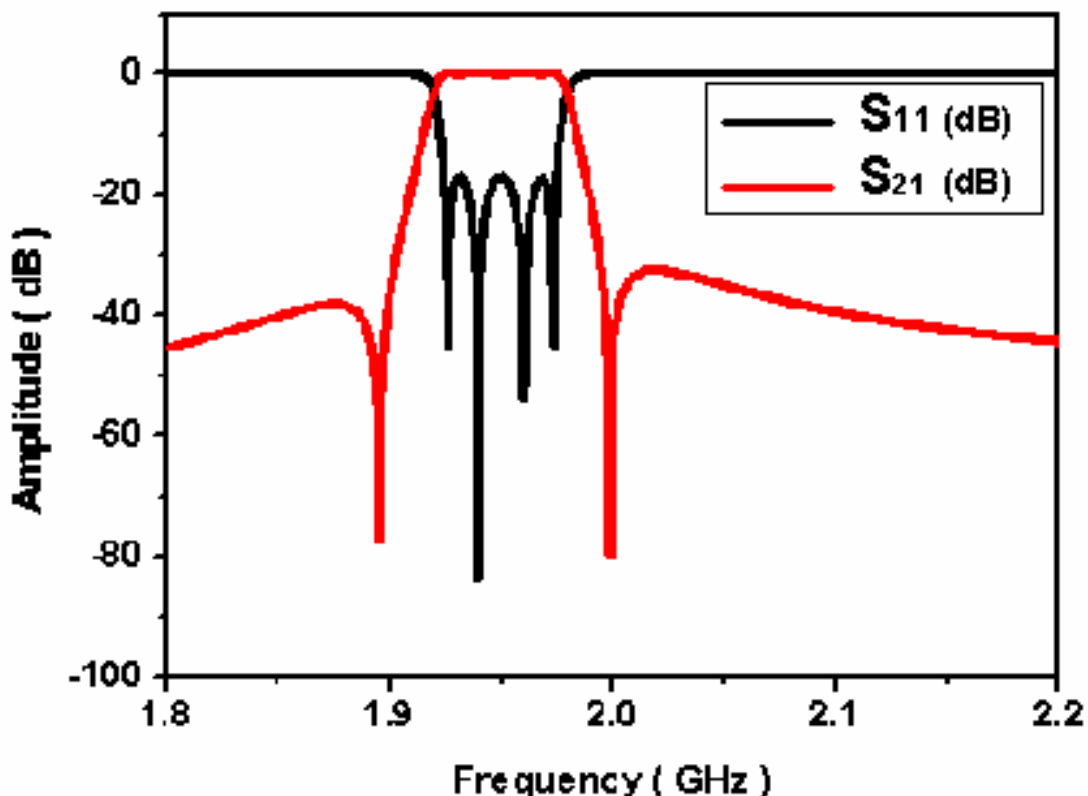
ภาพที่ 3-13 ความสัมพันธ์ระหว่างค่าสัมประสิทธิ์การเชื่อมต่อกับความสูงของกำแพงกั้น (Hwall) ระหว่างเรโซเนเตอร์

สำหรับวิธีการหาขนาดความสูงของกำแพงที่กั้นระหว่างเรโซเนเตอร์ Hwall จะใช้วิธีเดียวกันกับการหาค่าสัมประสิทธิ์การเชื่อมต่อที่สัมพันธ์กับค่า ตามสมการจากสมการที่ (3-2) ซึ่งผลที่ได้นี้ ได้แสดงไว้ในภาพที่ 3-13 และในขั้นตอนต่อไปคือการหาค่าความสัมพันธ์ระหว่างเรโซเนเตอร์ 1 กับ 4 ที่ได้ทำการวางคาปาซิทีฟโพรบไว้ตรงกลางเพื่อเพิ่มการคลัปปลิงระหว่างปลายเรโซเนเตอร์ทั้งสองอันนี้ในการหาความสัมพันธ์นี้ จะใช้วิธีการปรับค่าความยาวของแท่งคาปาซิทีฟโพรบนั้นเองโดยที่กำหนดคร่อมไว้คงที่ 4.2 mm ผลของการหาค่าความสัมพันธ์ของสัมประสิทธิ์การเชื่อมต่อระหว่าง เรโซเนเตอร์ 1 กับ 4 จะเป็นดังภาพที่ 3-14 นั้นแสดงให้เห็นว่าเมื่อทำการเพิ่มความยาวของแท่งคาปาซิทีฟโพรบนี้ให้ใกล้แท่งเรโซเนเตอร์มากขึ้นเท่าไร การคลัปปลิงที่เกิดขึ้นบริเวณปลายแท่งเรโซเนเตอร์ก็จะสูงขึ้นตามไปด้วย แต่ก็มีข้อกำหนดในการปรับจูนค่าทั้งหมดนี้คือค่าที่สามารถใช้ได้มันจะอยู่ในช่วงๆหนึ่งเท่านั้น ต้องคำนึงถึงผลกระทบด้านความถี่เป็นสำคัญที่สุด ดังนั้นถึงแม้ว่าจะได้ขนาดกำแพงตามความสัมพันธ์ตามที่คำนวณไว้แล้ว ต้องทำการจำลองผลย้อนกลับอีกครั้งเพื่อดูผลกระทบทางความถี่ทั้งหมดอีกครั้ง

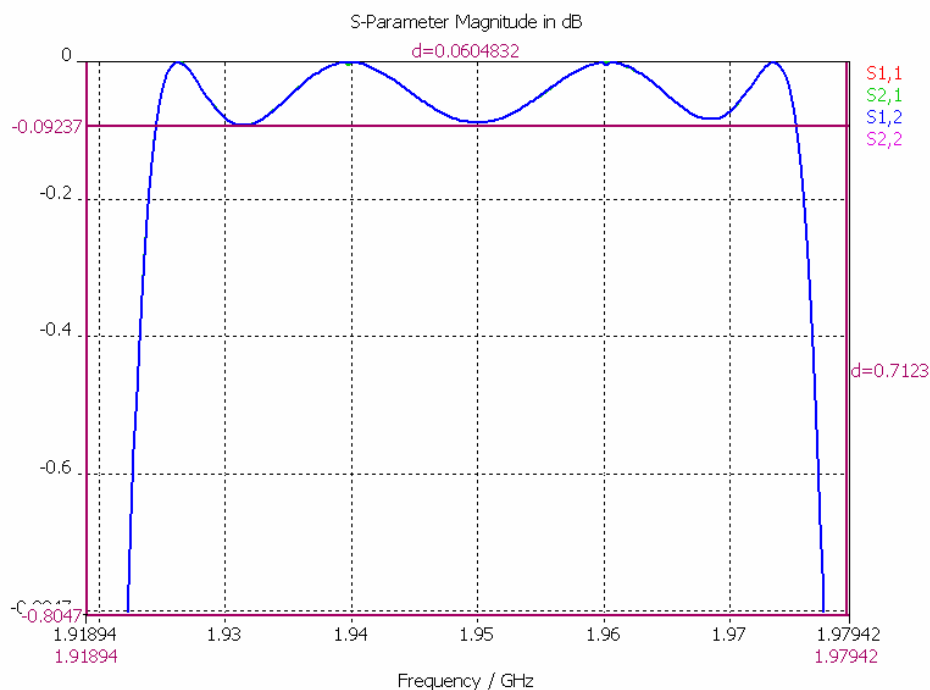


ภาพที่ 3-14 ความสัมพันธ์ระหว่างค่าสัมประสิทธิ์การเชื่อมต่อกับความยาวของแท่งคาปาซิทีฟโพรบ (L) ระหว่างเรโซเนเตอร์ 1 กับ 4

3.1.4 เมื่อได้ค่าพารามิเตอร์ต่างๆ ที่ต้องการครบหมดแล้วโดยการออกแบบจากหัวข้อข้างต้น ที่กล่าวมา สำหรับหัวข้อในส่วนนี้จึงจะนำค่าพารามิเตอร์ต่างๆ มาทำการจำลองผลโดยทำการปรับแต่งค่าพารามิเตอร์เพื่อให้ได้ค่าที่ต้องการ สำหรับความสัมพันธ์ของค่าพารามิเตอร์ที่ได้ปรับแต่งเพื่อให้ได้คุณสมบัติเหมาะสมตามที่ต้องการในตารางที่ 3-1 นั้นผลการจำลองได้แสดงไว้ในภาพที่ 3-15 จะเห็นได้ว่าเกิด Transmission Zeros ขึ้นสองด้าน ด้วยเทคนิคการวางเรโซเนเตอร์แบบไขว้ โดยมีแท่งคาปาซิทีฟโพรบเป็นตัวทำให้เกิดการคลี่ปลิงแบบไขว้ และเมื่อได้ทำการจำลองผลโดยทำการปรับแต่งค่าพารามิเตอร์เพื่อให้ได้ค่าที่ต้องการจะได้ค่า  $T_{14}$  เท่ากับ 8 มิลลิเมตร,  $T_{23}$  เท่ากับ 2.77 มิลลิเมตร และ  $T_{12}$ ,  $T_{34}$  เท่ากับ 2.3 มิลลิเมตร และ  $Hwall_{14}$  เท่ากับ 11.5 มิลลิเมตร  $Hwall_{23}$  เท่ากับ 3.636 มิลลิเมตร  $Hwall_{12}$  และ  $Hwall_{34}$  เท่ากับ 3.7 มิลลิเมตร ซึ่งแสดงผลตอบสนองทางความถี่ในภาพที่ 3-15 โดยค่าสัมประสิทธิ์การส่งผ่าน  $S_{21}$  มีค่าการสูญเสีย น้อยกว่า 0.1 dB ดังภาพ ที่ 3-16 และค่าสัมประสิทธิ์การสะท้อนกลับได้ประมาณ -20 dB



ภาพที่ 3-15 ผลตอบสนองทางความถี่วงจรกรองผ่านแถบด้านแถบรับ



ภาพที่ 3-16 ค่าสัมประสิทธิ์การส่งผ่าน  $S_{21}$  มีค่าการสูญเสียน้อยกว่า 0.1

### 3.2 การออกแบบวงจรกรองผ่านแถบด้านส่งในช่วงความถี่ (2.11GHz-2.17GHz)

สำหรับการออกแบบวงจรกรองผ่านแถบด้านส่งนั้นจะมีขบวนการออกแบบเหมือนกับ การออกแบบวงจรกรองผ่านแถบด้านแถบรับ แต่จะมีค่าความถี่กลางต่างกัน โดยในที่นี้จะขอ กล่าวถึงการออกแบบวงจรแบบคร่าวๆ

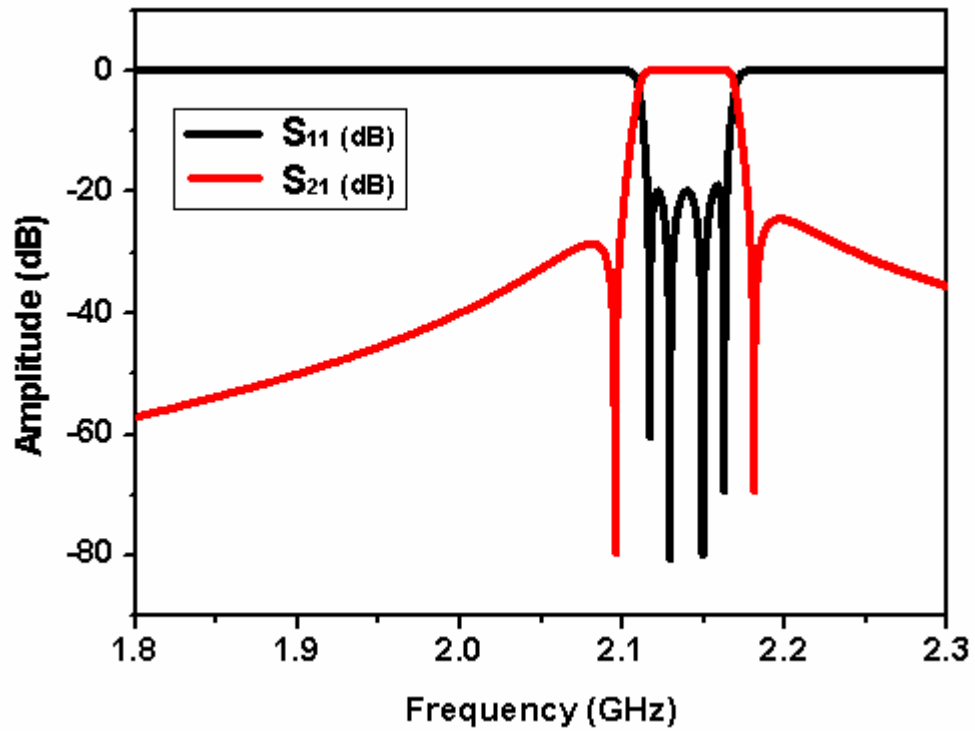
จะเริ่มจากการกำหนดคุณสมบัติต่างๆ ของวงจรกรองผ่านแถบที่ต้องการออกแบบโดยจะมี ค่าพารามิเตอร์ที่สำคัญดังในตารางที่ 3-2

ตารางที่ 3-2 ค่าคุณสมบัติต่างๆ ของวงจรกรองผ่านแถบด้านแถบส่ง

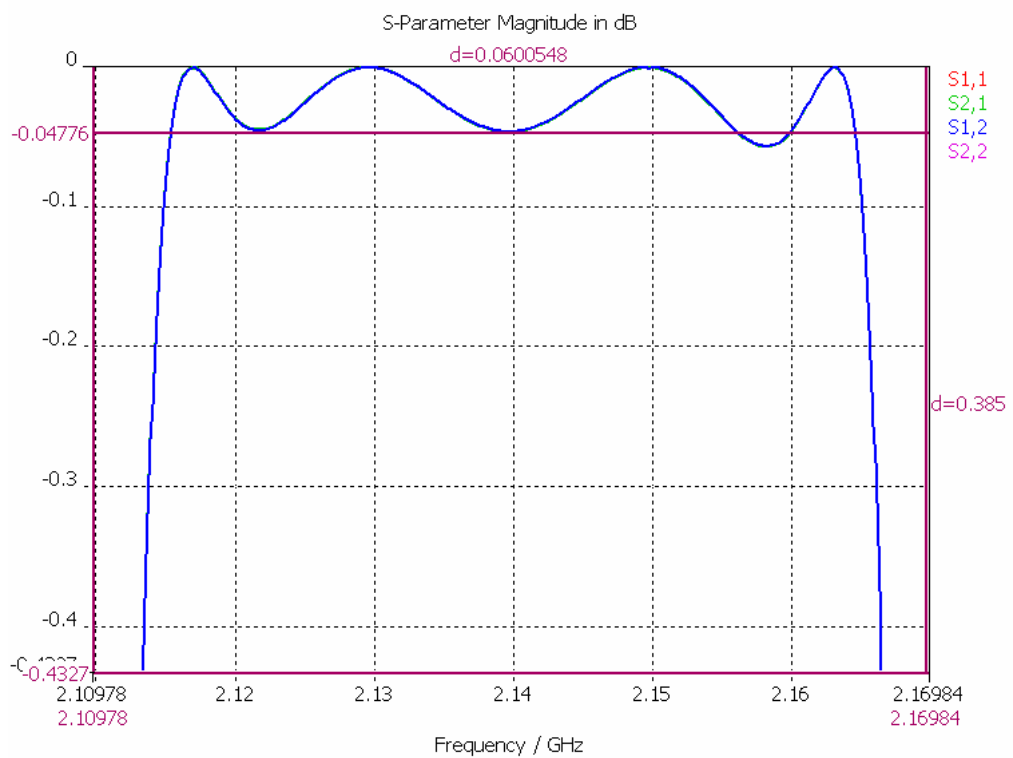
ค่าความถี่กลาง ( $f_0$ )	2140 MHz
ค่าแบนด์วิดท์ที่ -3 dB (BW)	60 MHz
ค่าการสูญเสียของช่วงความถี่ผ่าน ( $S_{11}$ )	ไม่เกิน 3 dB
ค่าอิมพีแดนซ์คุณลักษณะ ( $Z_0$ )	50 โอห์ม
ค่าสัมประสิทธิ์การสะท้อน ( $S_{11}$ )	-20dB
ขนาดของการกระเพื่อม	ไม่เกิน 0.1 dB
ชนิดของวงจรผ่านแถบ	เชบีเชฟ
จำนวนของเรโซเนเตอร์ (n)	4

จากค่าคุณสมบัติในตารางที่ 3-2 จะนำมาหาค่าองค์ประกอบตัวกรองความถี่ต้นแบบ ซึ่งจะ สามารถหาค่าเส้นผ่านศูนย์กลางของแท่งเรโซเนเตอร์ได้เท่ากับ 10.413 มิลลิเมตร ขนาดของกล่อง คาวิตีจะให้ความกว้าง  $\times$  ยาว เท่ากับ เป็น  $22.225 \times 22.225$  มิลลิเมตร โดยจะกำหนดให้เรโซเนเตอร์มี ความยาวทางไฟฟ้าโดยประมาณ  $\lambda/8$  หรือ  $\theta_0 = 45^\circ$  เช่นเดิมที่สำหรับความถี่กลาง 2140 MHz ซึ่งจะมีความยาวของแท่งเรโซเนเตอร์เท่ากับ 18.945 มิลลิเมตร โดยจะออกแบบให้ค่าอิมพีแดนซ์ คุณลักษณะ  $Z_0$  ของเรโซเนเตอร์มีค่าประมาณ 50 โอห์ม ขั้นตอนต่อไปจะหาขนาดและระยะการจัด วางของหัวโพรบอินพุตและเอาต์พุตซึ่งจะใช้ค่าตัวประกอบคุณภาพภายนอกเป็นตัวกำหนด ค่าพารามิเตอร์โดยค่าตัวประกอบคุณภาพภายนอกทั้งอินพุตและเอาต์พุตเท่ากับ 32.34 ( $Q_{ei} = Q_{eo} = 32.34$ ) จะได้ค่ารีซีฟของหัวพอร์ตของวงจรกรองผ่านแถบความถี่ด้านส่งเท่ากับ 2.3445 มิลลิเมตร ส่วนระยะความยาวของพอร์ตเท่ากับ 4.96 มิลลิเมตรและความสูงของพอร์ต เท่ากับ 10.5 มิลลิเมตร

ขั้นตอนต่อไปคือการกำหนดค่าความหนาของกำแพง โดยค่าสัมประสิทธิ์การเชื่อมต่อ  $K_{14}$  เท่ากับ 0.00399  $K_{23}$  เท่ากับ 0.021539 และ  $K_{12}, K_{34}$  เท่ากับ 0.028021 สำหรับการออกแบบวงจร กรองผ่านแถบด้านแถบส่งนี้ได้ออกแบบให้มีรูปทรงเหมือนกับวงจรกรองผ่านแถบด้านรับ ค่าพารามิเตอร์ที่ต่างกันมาจากการปรับขนาดกล่องใหม่อีกครั้ง โดยอาศัยค่าความสัมพันธ์ ระหว่างค่าสัมประสิทธิ์การเชื่อมต่อกับค่าพารามิเตอร์ดังเช่นในการออกแบบวงจรกรองผ่านแถบ ด้านรับ โดยค่าที่ได้ี้จะมี ความหนาของกำแพง  $T_{12}, T_{34}$  เท่ากับ 3.7 มิลลิเมตรได้ค่าความหนาของ กำแพง  $T_{23}$  เท่ากับ 3.636 มิลลิเมตรความหนาของกำแพง  $T_{14}$  เท่ากับ 8 มิลลิเมตรและ ความสูงของ กำแพงที่กั้นระหว่างเรโซเนเตอร์  $H_{wall_{12}}, H_{wall_{34}}$  เท่ากับ 3.7 มิลลิเมตร  $H_{wall_{23}}$  เท่ากับ 2.75 มิลลิเมตรและ  $H_{wall_{14}}$  เท่ากับ 11 มิลลิเมตรโดยเมื่อได้ค่าพารามิเตอร์ต่างๆ ที่ต้องการครบหมดแล้ว จึงทำการจำลองการทำงาน โดยทำการปรับแต่งค่าพารามิเตอร์เพื่อให้ได้คุณสมบัติเหมาะสมตามที่ ต้องการในตารางที่ 3-2 ซึ่งจะแสดงผลตอบสนองทางความถี่วงจรกรองผ่านแถบด้านแถบส่งในภาพ ที่ 3-17 โดยค่าสัมประสิทธิ์การส่งผ่าน  $S_{21}$  มีค่าการสูญเสียน้อยกว่า 0.1 dB เช่นเดียวกัน ดังในภาพ ที่ 3-18 และค่าสัมประสิทธิ์การสะท้อนประมาณ -20 dB



ภาพที่ 3-17 ผลตอบสนองทางความถี่จากรองผ่านแถบด้านแถบส่ง



ภาพที่ 3-18 ค่าสัมประสิทธิ์การส่งผ่าน  $S_{21}$  มีค่าการสูญเสียน้อยกว่า 0.1

### 3.3 การออกแบบวงจรไดโพลิกซ์เซอร์

ในส่วนของการออกแบบไดโพลิกซ์เซอร์จะประกอบไปด้วยชุดของวงจรกรองผ่านแถบทั้งด้านรับและส่ง ซึ่งมีค่าพารามิเตอร์ต่างๆ ของแต่ละวงจรที่ได้ทำออกแบบมาเป็นที่เรียบร้อยแล้ว จากหัวข้อที่ผ่านมา นำมาประกอบรวมกับวงจรแยกสัญญาณดังภาพที่ 3-19 ซึ่งจะสามารถออกแบบโดยใช้เทคนิคการหาค่า S-parameter ด้วยการหาค่าเหมาะสมที่สุดโดยใช้โปรแกรมจำลองทางไมโครเวฟช่วยในการออกแบบโดยขั้นตอนในการออกแบบมีดังนี้

#### 3.3.1 กำหนดค่าพารามิเตอร์เริ่มในส่วนวงจรแยกสัญญาณ โดยมี

3.3.1.1 ค่าขนาดกล่องเริ่มต้นเท่ากับขนาดกล่องที่ได้คำนวณไว้สำหรับวงจรกรองแถบผ่านทั้งด้านรับและด้านส่งเท่ากับ 22.225 mm x 22.225 mm

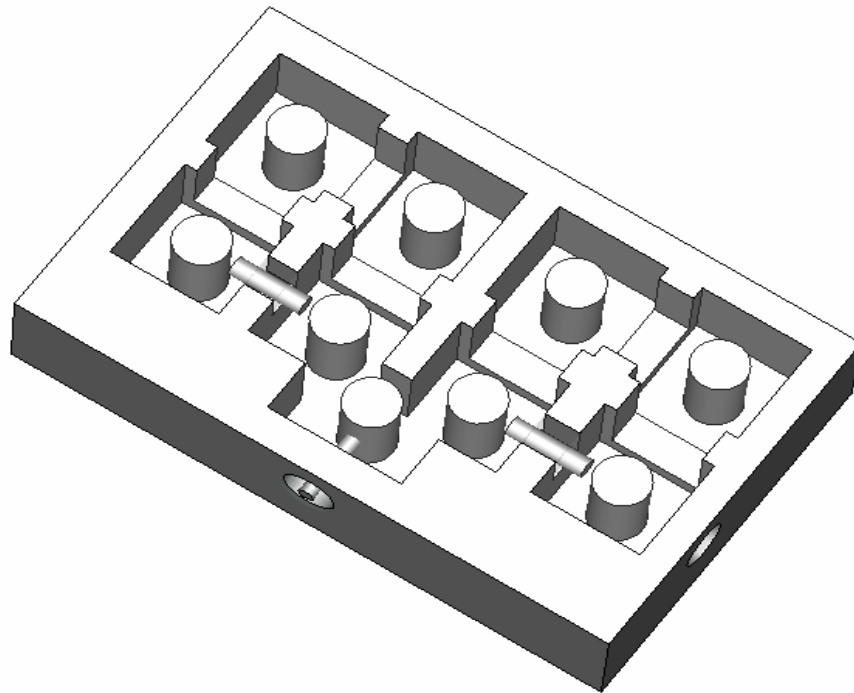
3.3.1.2 ขนาดเส้นผ่านศูนย์กลางของเรโซเนเตอร์ เท่ากับ 10.413 mm. และความสูงของแท่ง เรโซเนเตอร์กำหนดให้เริ่มที่ค่าความสูงกึ่งกลางระหว่างวงจรกรองความถี่ทั้งด้านรับเท่ากับ 19.2 mm และด้านส่ง เท่ากับ 18.9 mm

3.3.1.3 ค่ารัศมีของโพรบป้อนสัญญาณเท่ากับ 3.4445 mm. ทั้งสองด้านความยาวของโพรบป้อนสัญญาณ ให้มีค่าเท่ากับค่าความยาวโพรบของวงจรกรองแถบผ่านด้านรับเท่ากับ 4.96 mm. และให้ค่าความยาวโพรบของวงจรกรองแถบผ่านด้านส่งเท่ากับ 4.95 mm

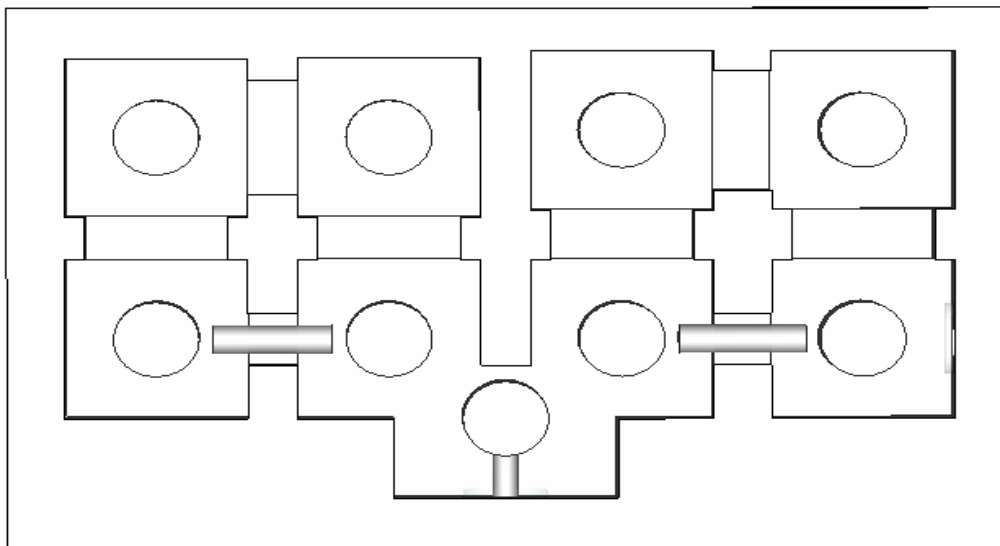
3.3.1.4 ค่าระยะห่างของกัมแพงระหว่างเรโซเนเตอร์ของวงจรกรองผ่านแถบด้านรับประมาณ 6mm. และค่าระยะห่างของกัมแพงระหว่างเรโซเนเตอร์ของด้านส่งประมาณ 7 mm

3.3.1.5 ค่าความสูงของกล่องให้เท่ากันทั้งสองด้าน โดยมีค่าเท่ากับ 20.015 mm ของวงจรกรองแถบผ่านทั้งสองด้าน

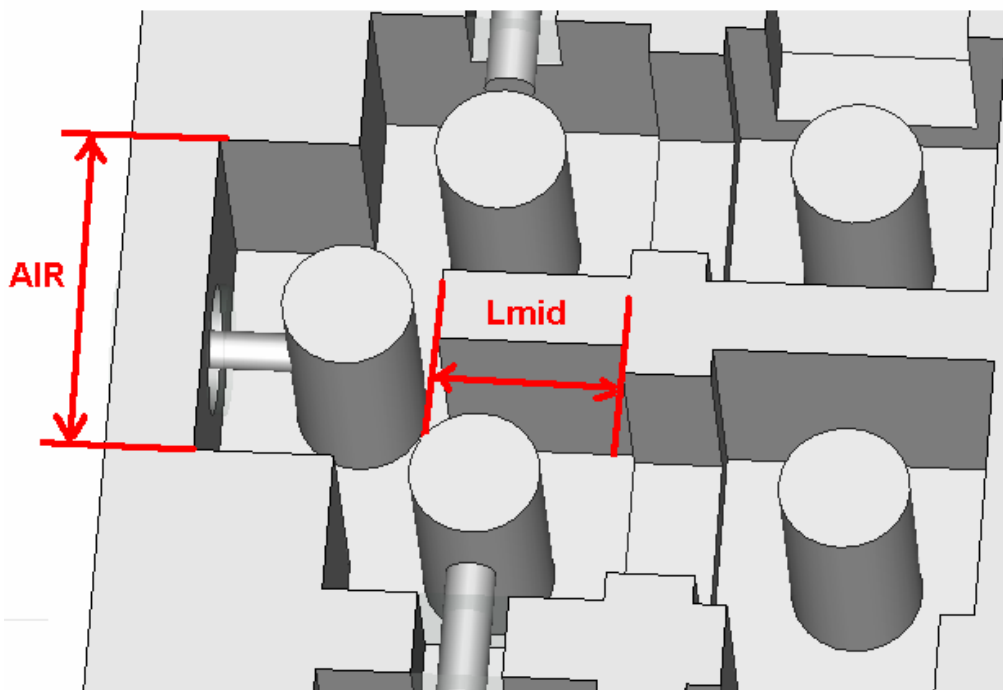
3.3.1.6 ทำการกำหนดคุณสมบัติของไดโพลิกซ์เซอร์ให้มีค่าสูญเสียการใส่แทรก  $S_{21}$  ไว้ที่ประมาณ 0.5 dB ค่าสูญเสียการสะท้อน  $S_{11}$  ประมาณ -10 dB โดยไดโพลิกซ์เซอร์จะมีผลตอบแทนทางความถี่ดังแสดงในภาพที่ 3-22



ภาพที่ 3-19 วงจรไดเฟล็กซ์เซอร์ที่ประกอบด้วยวงจรกรองผ่านแถบทั้งด้านรับและส่ง

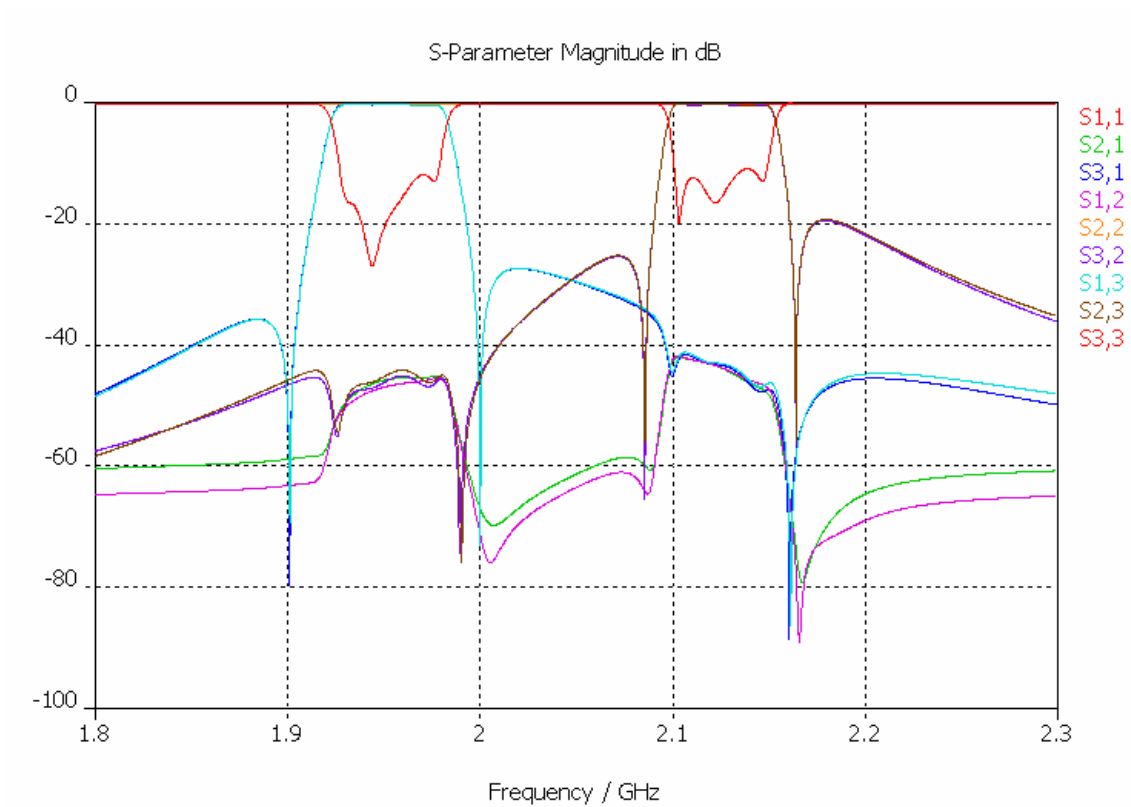


ภาพที่ 3-20 ไดเฟล็กซ์เซอร์ที่ประกอบจากวงจรกรองผ่านแถบทั้งด้านรับและส่ง โดยมีพอร์ตอยู่ตรงกลางทำหน้าที่รวมสัญญาณทั้งสองด้านวงจรกรองผ่านแถบเข้าด้วยกัน

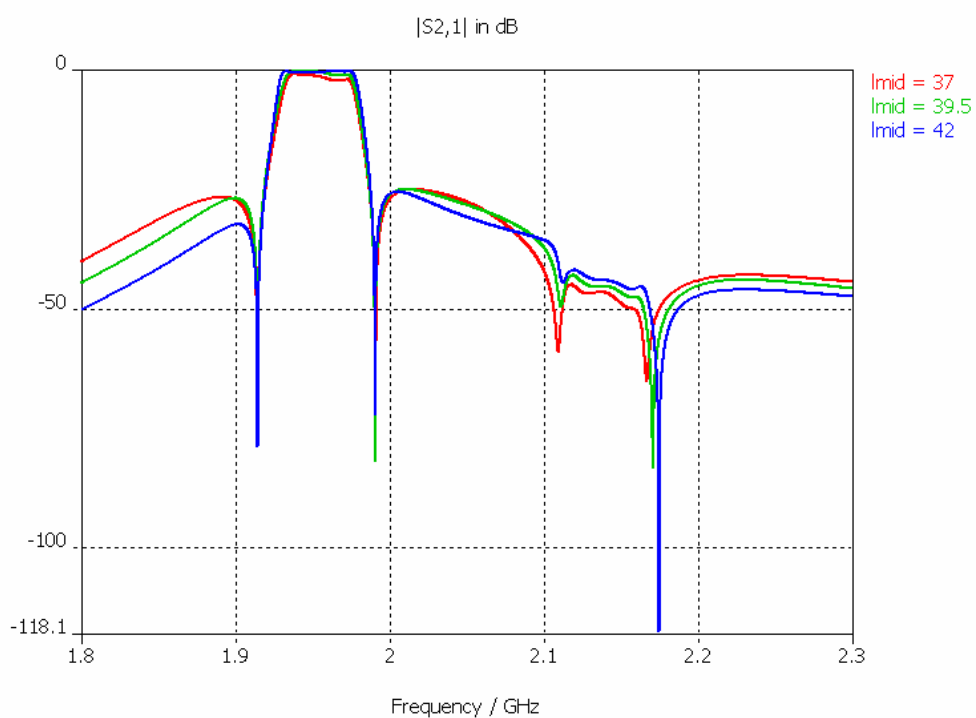


ภาพที่ 3-21 ภาพขยายให้เห็นพอร์ตร่วมสัญญาณที่อยู่ตรงกลางระหว่างสองด้านวงจรกรอง

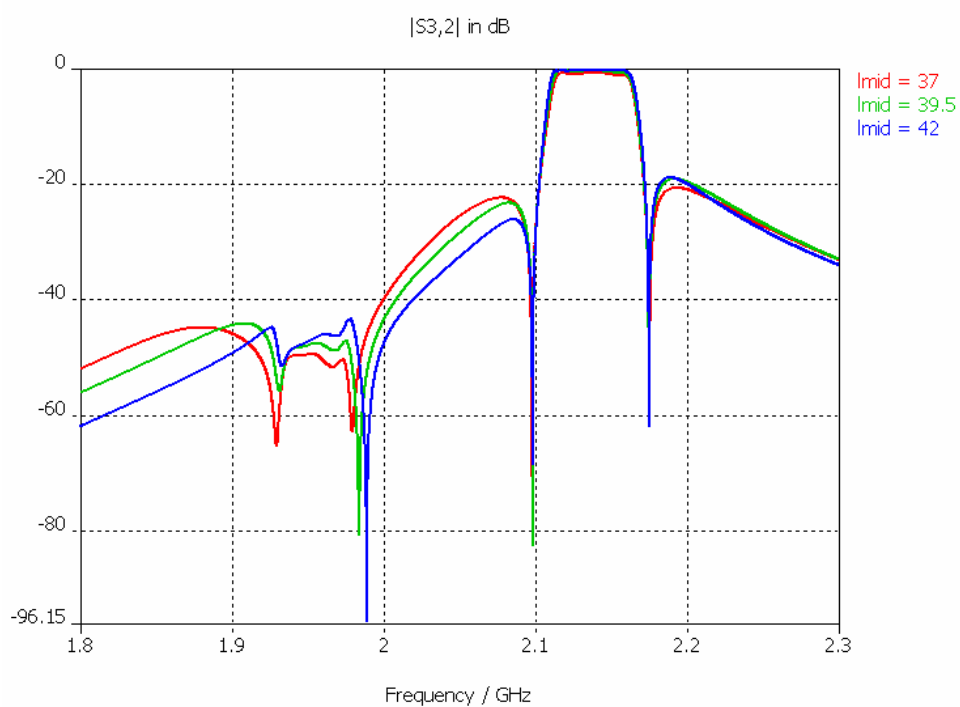
การปรับค่าพารามิเตอร์ที่สำคัญคือการปรับค่าพารามิเตอร์ของพอร์ตร่วมสัญญาณ ซึ่งในการจำลองผลนี้ได้กำหนดให้มีเพียง 4 พารามิเตอร์เท่านั้นที่ต้องทำการปรับ ดังแสดงในภาพที่ 3-21 นั่นคือ ความกว้างของห้องตรงจตุรรวมสัญญาณ(AIR) และความยาวของกำแพงที่กั้นแบ่งระหว่างวงจรกรองทั้งสองด้าน(Lmid) โดยในการปรับค่านี้จะเริ่มปรับที่ตัวใดก่อนก็ได้ผลของการปรับพารามิเตอร์ทั้งสองนี้จะแสดงให้เห็นผลกระทบทางความถี่ที่เปลี่ยนแปลงไปเมื่อปรับจนค่าที่เหมาะสม ในภาพที่ 3-23 ถึงภาพที่ 3-30 ซึ่งเมื่อทำการเพิ่มความยาวของกำแพงกั้น(Lmid)ระหว่างวงจรกรองทั้งสองความถี่ ค่าสัมประสิทธิ์การส่งผ่านจะมีผลในทางที่ดีขึ้น สามารถดูได้จากในภาพที่ 3-25 รูปขยายค่าสัมประสิทธิ์การส่งผ่าน  $S_{21}$  และในภาพที่ 3-26 รูปขยายค่าสัมประสิทธิ์การส่งผ่าน  $S_{32}$  ในขณะเดียวกันเมื่อทำการปรับความกว้างของห้องจตุรรวมสัญญาณ (AIR) โดยเมื่อเพิ่มขนาดความกว้างลงจะเห็นว่าแบนด์วิดท์ของช่องสัญญาณลดลง โดยสามารถดูผลได้จากในภาพที่ 3-29 รูปขยายค่าสัมประสิทธิ์การส่งผ่าน  $S_{21}$  และในภาพที่ 3-30 รูปขยายค่าสัมประสิทธิ์การส่งผ่าน  $S_{32}$



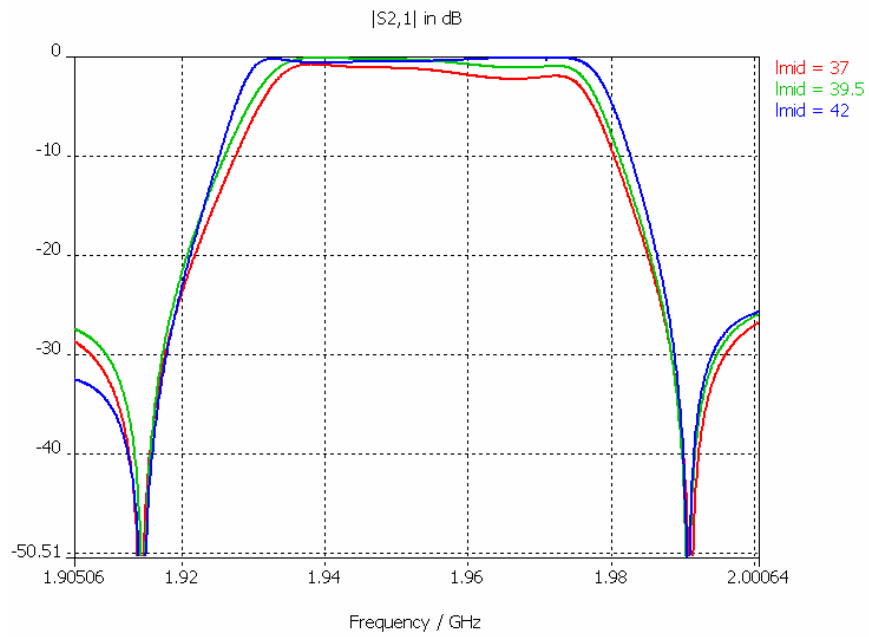
ภาพที่ 3-22 ผลตอบสนองทางความถี่ของไดเฟล็กซ์เซอร์เมื่อทำการปรับค่าพารามิเตอร์วงจรกรองทั้งสองด้านและปรับวงจรรวมเรียบร้อยแล้ว



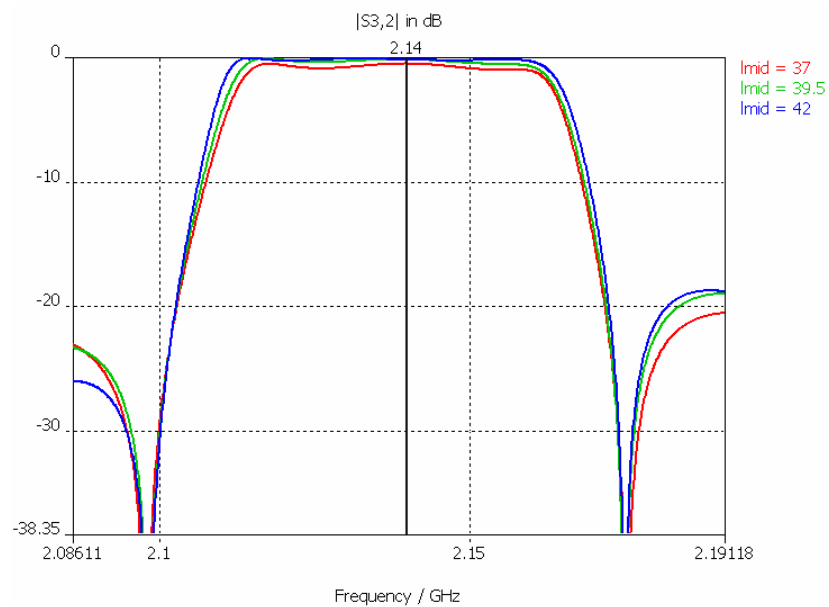
ภาพที่ 3-23 ค่าสัมประสิทธิ์การส่งผ่าน  $S_{21}$  เมื่อเปลี่ยนแปลงค่าความยาวของก้ำแพงกั้นสองวงจรรอง ( $L_{mid}$ )



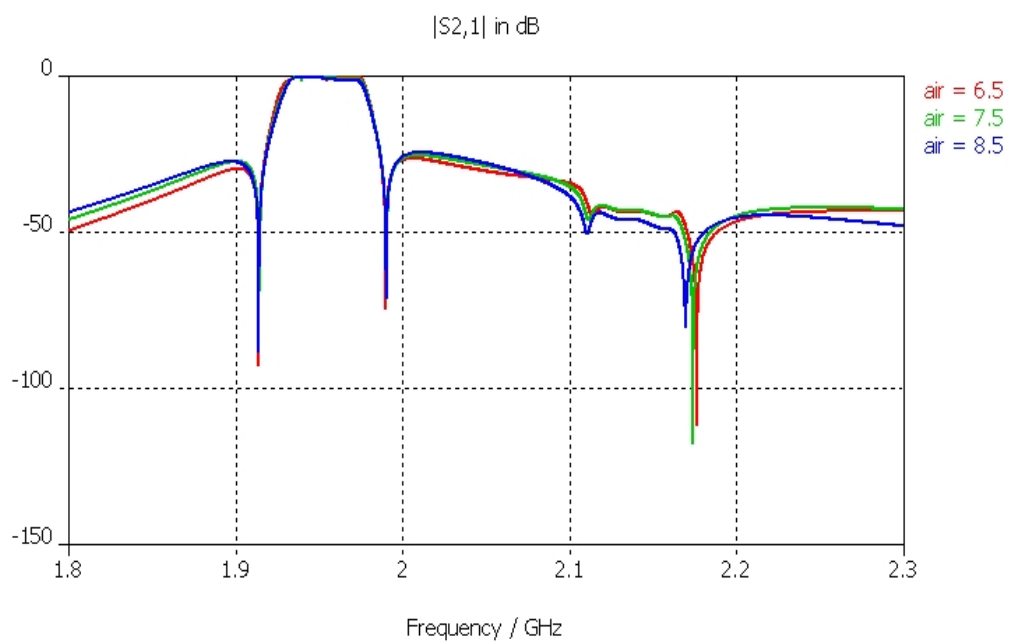
ภาพที่ 3-24 ค่าสัมประสิทธิ์การส่งผ่าน  $S_{32}$  เมื่อเปลี่ยนแปลงค่าความยาวของก้ำแพงกั้นสองวงจรรอง ( $L_{mid}$ )



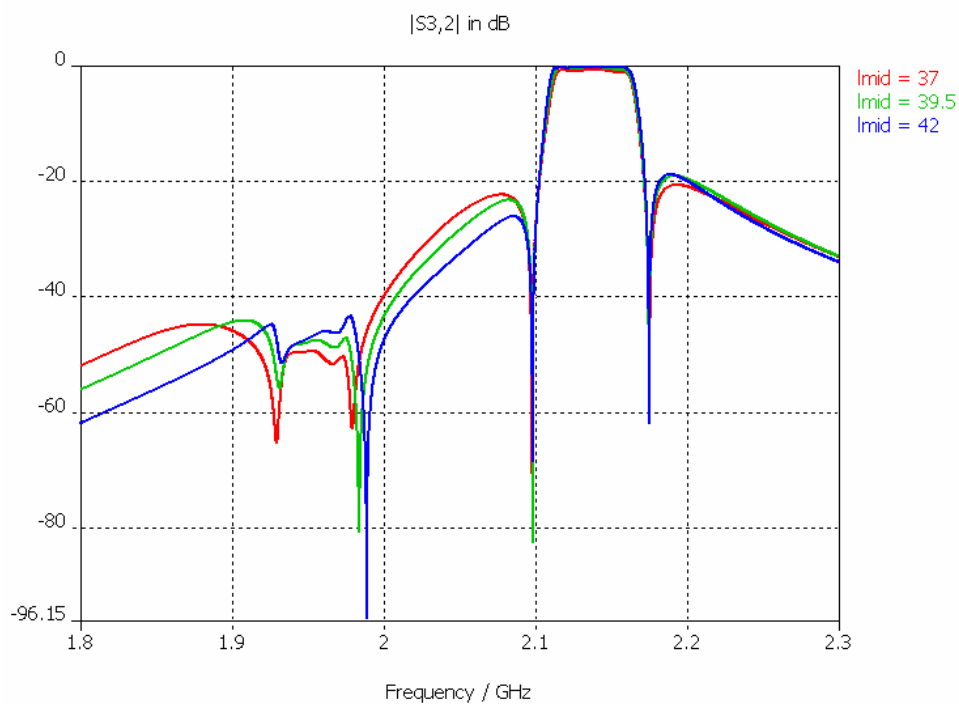
ภาพที่ 3-25 รูปขยายค่าสัมประสิทธิ์การส่งผ่าน  $S_{21}$  เมื่อเปลี่ยนแปลงค่าความยาวของก้ำแพงกั้นสองวงจรรอง ( $L_{mid}$ )



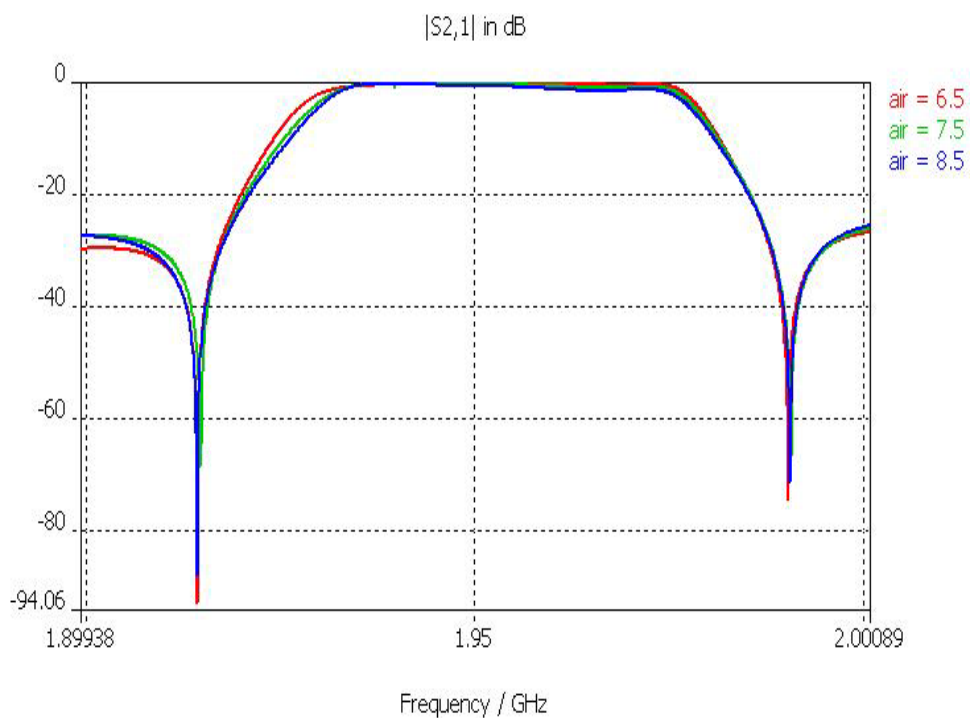
ภาพที่ 3-26 รูปขยายค่าสัมประสิทธิ์การส่งผ่าน  $S_{32}$  เมื่อเปลี่ยนแปลงค่าความยาวของก้ำแพงกั้นสองวงจรรอง ( $L_{mid}$ )



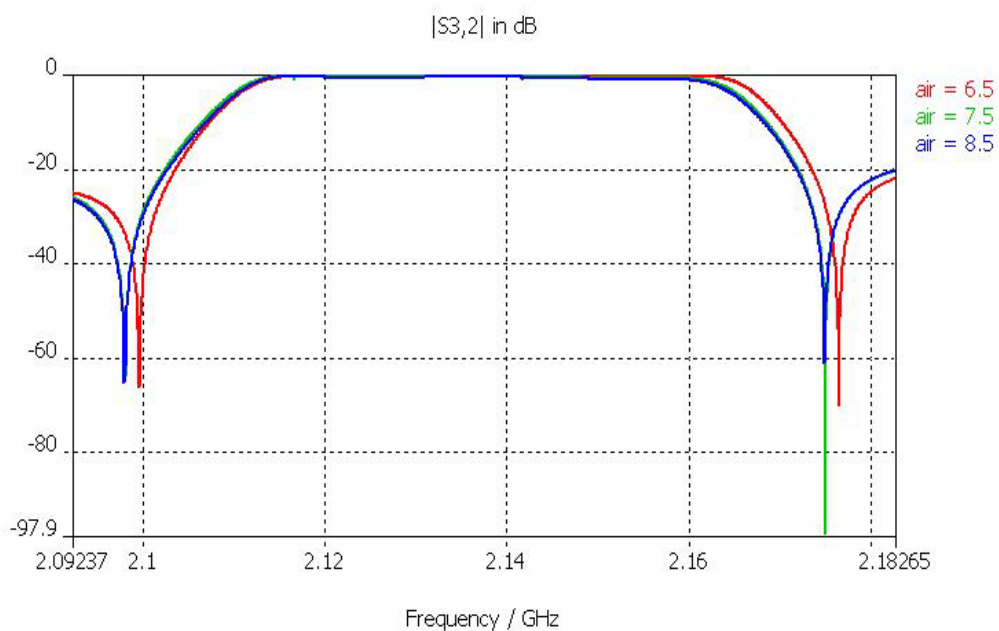
ภาพที่ 3-27 ค่าสัมประสิทธิ์การส่งผ่าน  $S_{21}$  เมื่อเปลี่ยนแปลงความกว้าง  
วงจรแยกสัญญาณ (AIR)



ภาพที่ 3-28 ค่าสัมประสิทธิ์การส่งผ่าน  $S_{32}$  เมื่อเปลี่ยนแปลงความกว้าง  
วงจรแยกสัญญาณ (AIR)



ภาพที่ 3-29 รูปขยายค่าสัมประสิทธิ์การส่งผ่าน  $S_{21}$  เมื่อเปลี่ยนแปลง ความกว้างวงจรแยกสัญญาณ (AIR)



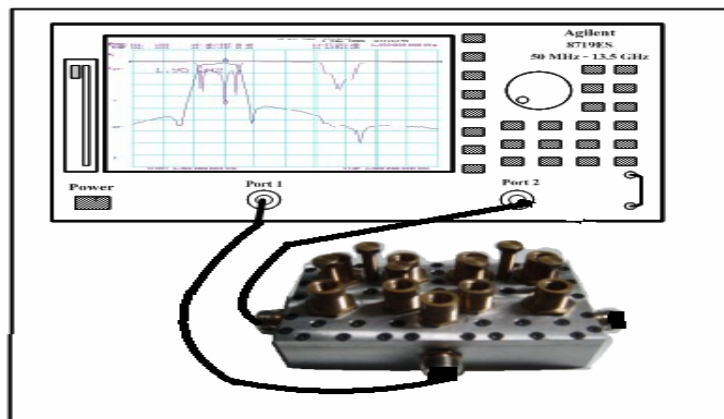
ภาพที่ 3-30 รูปขยายค่าสัมประสิทธิ์การส่งผ่าน  $S_{32}$  เมื่อเปลี่ยนแปลง ความกว้างวงจรแยกสัญญาณ (AIR)

## บทที่ 4

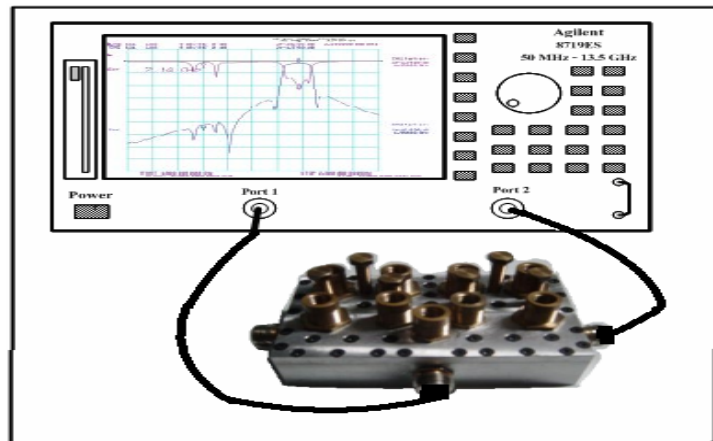
### การทดสอบและผลการทดสอบ

ในส่วนของบทที่ 4 นี้ได้กล่าวถึงผลการวัดวงจรไคเพล็กเซอร์ซึ่งงานจริงโดยนำค่าสเกลขนาดมาจากการจำลองผลการทดลองออกแบบจากบทที่ 3 และได้ทำการเปรียบเทียบผลจากการวัดซึ่งงานจริงกับผลการจำลองการออกแบบ สำหรับวิธีการทดลองซึ่งงานจริงนั้นได้ใช้อุปกรณ์เครื่องมือวัดวิเคราะห์ข่ายงาน ไฟฟ้า (Network Analyzer) ของบริษัท Hewlett Packard รุ่น 87195E โดยก่อนทำการวัดผลทุกครั้งนั้นต้องทำการวัดทดสอบปรับก่อน (Calibration) และใช้วิธีการวัดผลแบบ Full Two Port เพื่อต้องการวัดผลตอบสนองทางความถี่เป็นแบบวงจรสองพอร์ต โดยพอร์ตที่ 1 จะทำหน้าที่ส่งสัญญาณและพอร์ตที่ 2 จะเป็นพอร์ตที่รับสัญญาณและในขณะเดียวกันสัญญาณที่สะท้อนกลับจากพอร์ต 2 ก็จะถูกส่งกลับมาด้วยเช่นกัน โดยค่าพารามิเตอร์ที่วัดผลนี้จะประกอบไปด้วยค่าสัมประสิทธิ์การส่งผ่านด้านพอร์ต 1 อินพุตไปสู่ด้านเอาต์พุตที่พอร์ต 2 นั่นคือ ( $S_{21}$ ) และ ( $S_{31}$ ) และค่าสัมประสิทธิ์การสะท้อนกลับด้านอินพุตนั้นก็คือ ( $S_{11}$ ) โดยวิธีการวัดวงจรไคเพล็กเซอร์นั้นได้แสดงไว้ในภาพที่ 4-1 ซึ่งจะทำการวัดวงจรกรองผ่านแถบที่ละเอียดโดยเริ่มจากด้านรับก่อน โดยกำหนดค่าความถี่กลางที่ 1.95GHz ช่วงของแบนวิทซ์ 1.92GHz – 1.98GHz แล้วจึงมาวัดด้านส่งต่อ โดยกำหนดค่าความถี่กลางที่ 2.14GHz ช่วงของแบนวิทซ์คือ 2.11GHz – 2.17GHz ซึ่งค่าที่วัดได้นี้จะนำเสนอในลำดับต่อไป

ในการวัดทดลองซึ่งงานจริงแบ่งออกเป็น 2 ส่วน คือส่วนแรกวัดวงจรไคเพล็กเซอร์โคแอกเซียลควิตีด้านวงจรกรองความถี่ผ่านแถบด้านรับ (1.92GHz – 1.98GHz) ส่วนที่สองวัดวงจรไคเพล็กเซอร์โคแอกเซียลควิตีด้านวงจรกรองความถี่ผ่านแถบย่านส่ง (2.11GHz – 2.17GHz) ดังที่ได้แสดงในภาพที่ 4-1 และ 4-2



ภาพที่ 4-1 การวัดทดลองซึ่งงานจริงวงจรไคเพล็กเซอร์ด้านรับ



ภาพที่ 4-2 การวัดทดลองชิ้นงานจริงวงจรไดเฟล็กเซอร์ด้านส่ง

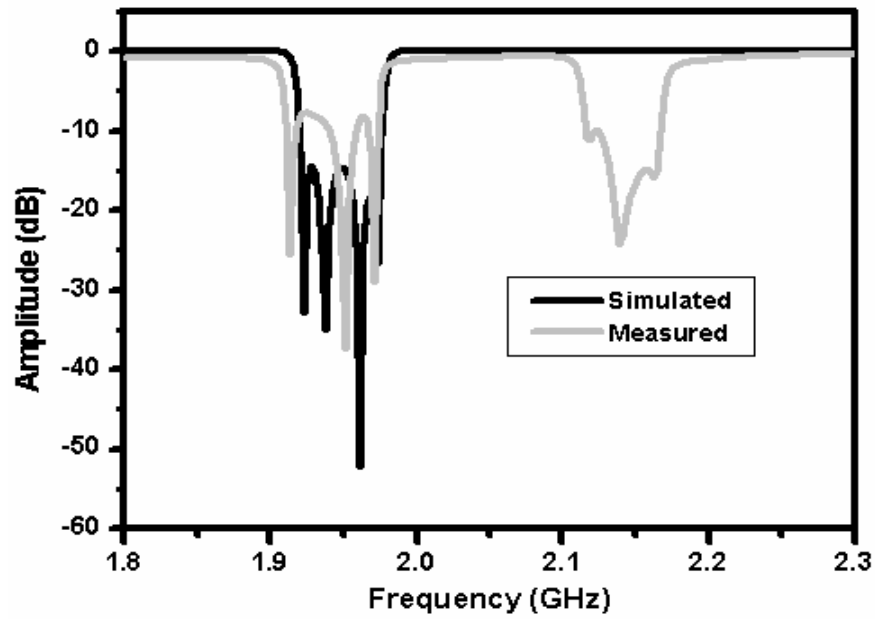
#### 4.1 การทดสอบวงจรไดเฟล็กเซอร์แบบโคแอกเซียลควิตีในส่วนวงจรกรองผ่านแถบด้านรับ (1.92GHz – 1.98GHz)

ค่าพารามิเตอร์การกระจาย (S-parameter) ที่ได้จากการวัดชิ้นงานจริงเปรียบเทียบกับผลที่ได้จากการจำลองแบบการทำงานด้วยโปรแกรมจำลองทางไมโครเวฟได้ผลการทดลองดังต่อไปนี้

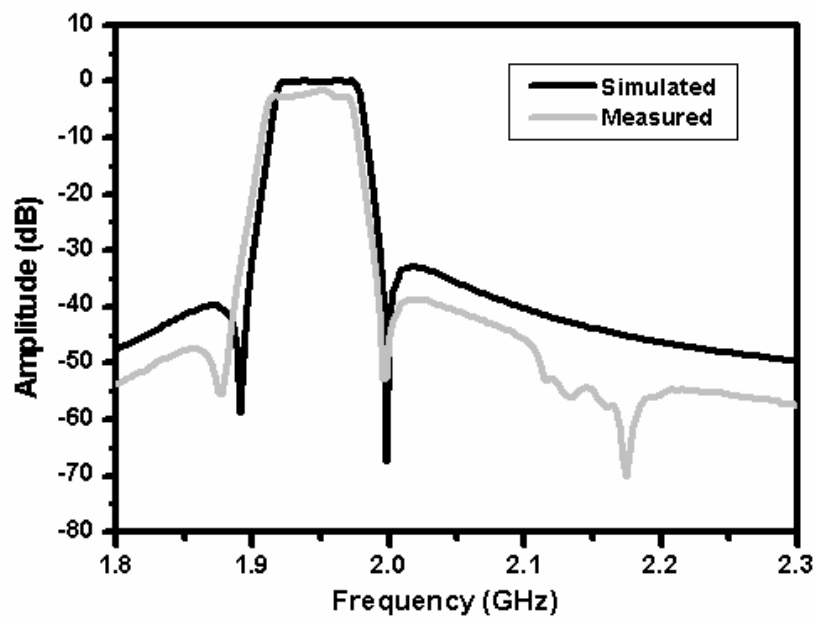
4.1.1 แสดงผลการเปรียบเทียบค่า  $S_{11}$  ของวงจรกรองโคแอกเซียลควิตีด้านแถบรับที่ค่าความถี่กลาง 1.95GHz ระหว่างผลที่ได้จากการวัดชิ้นงานจริงและการจำลองงานด้วยโปรแกรมทางไมโครเวฟในภาพที่ 4-3

4.1.2 แสดงผลการเปรียบเทียบค่า  $S_{21}$  ของวงจรกรองโคแอกเซียลควิตีด้านแถบรับที่ค่าความถี่กลาง 1.95GHz ระหว่างผลที่ได้จากการวัดชิ้นงานจริงและการจำลองงานด้วยโปรแกรมทางไมโครเวฟในภาพที่ 4-4

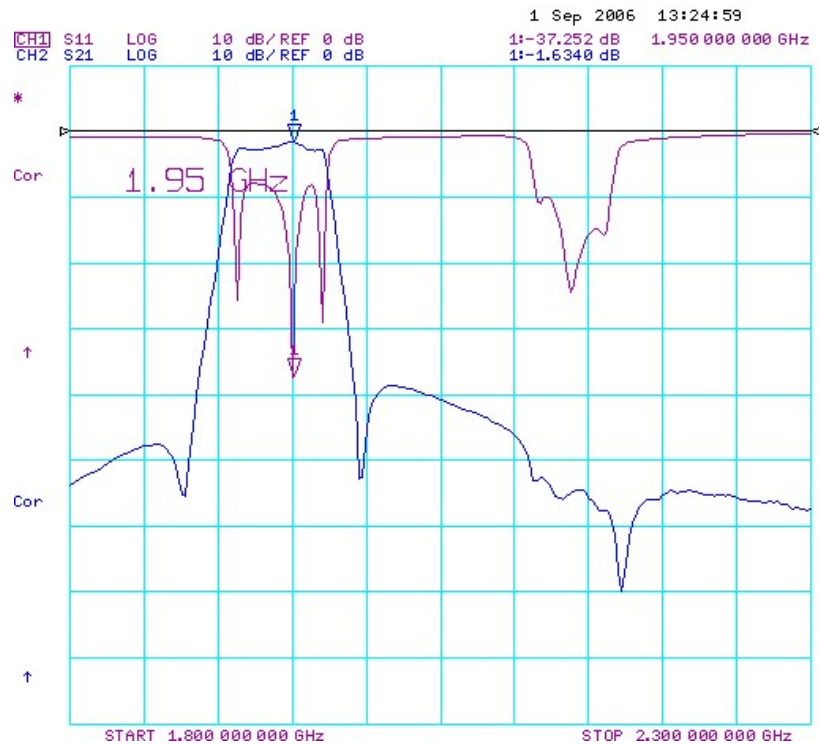
4.1.3 แสดงผลวัดจริงค่า  $S_{11}$  และ  $S_{21}$  ของวงจรกรองโคแอกเซียลควิตีด้านแถบรับที่ค่าความถี่กลาง 1.95GHz ดังภาพที่ 4-5



ภาพที่ 4-3 ผลการวัดจริงและการจำลองด้วยโปรแกรมทางไมโครเวฟค่า  $S_{11}$  ของวงจรไดเฟล็กเซอร์โคแอคเซียลควิตี้ด้านแถบรับที่ค่าความถี่กลาง 1.95GHz



ภาพที่ 4-4 ผลการวัดจริงและการจำลองด้วยโปรแกรมทางไมโครเวฟค่า  $S_{21}$  ของวงจรไดเฟล็กเซอร์โคแอคเซียลควิตี้ด้านแถบรับที่ค่าความถี่กลาง 1.95GHz



ภาพที่ 4-5 ผลการวัดจริงค่า  $S_{11}$  และ  $S_{21}$  ของวงจรโคแพล็กเซอร์โคแอกเซียลควิตี้  
ด้านแถบรับที่ค่าความถี่กลาง 1.95GHz

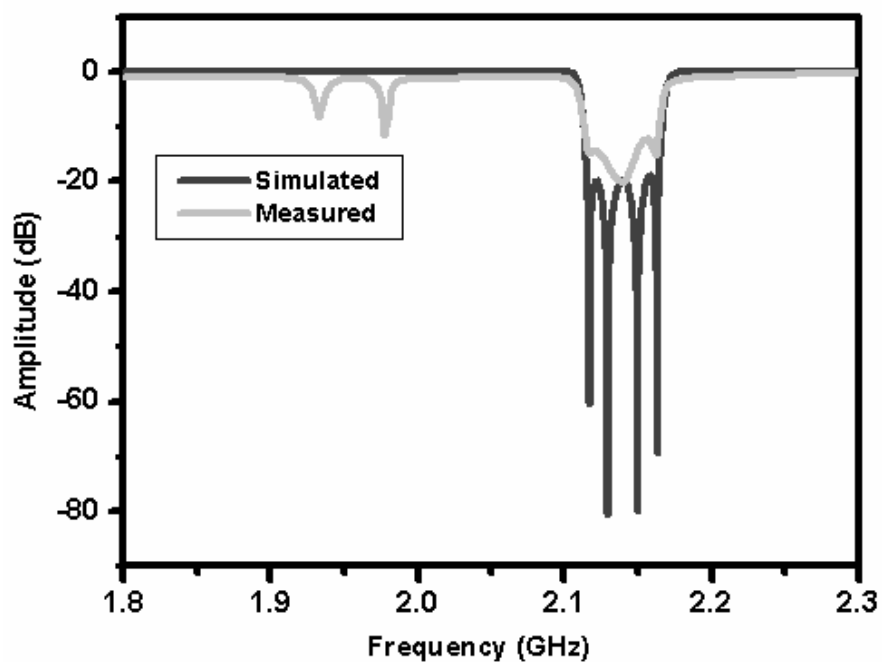
#### 4.2 การทดสอบวงจรโคแพล็กเซอร์แบบโคแอกเซียลควิตี้ในส่วนวงจรกรองผ่านแถบด้านส่ง (2.11GHz – 2.17GHz)

สำหรับรูปแบบการต่ออุปกรณ์เครื่องมือวัดทดสอบชิ้นงานนั้นจะแสดงในภาพที่ 4-2 โดยค่าพารามิเตอร์สัมประสิทธิ์การส่งผ่าน ( $S_{21}$ ) และค่าพารามิเตอร์สัมประสิทธิ์การสะท้อน ( $S_{11}$ ) ที่ได้จากการวัดชิ้นงานจริงเปรียบเทียบกับผลที่ได้จากการจำลองแบบจะถูกนำเสนอตามลำดับขั้นตอนดังต่อไปนี้

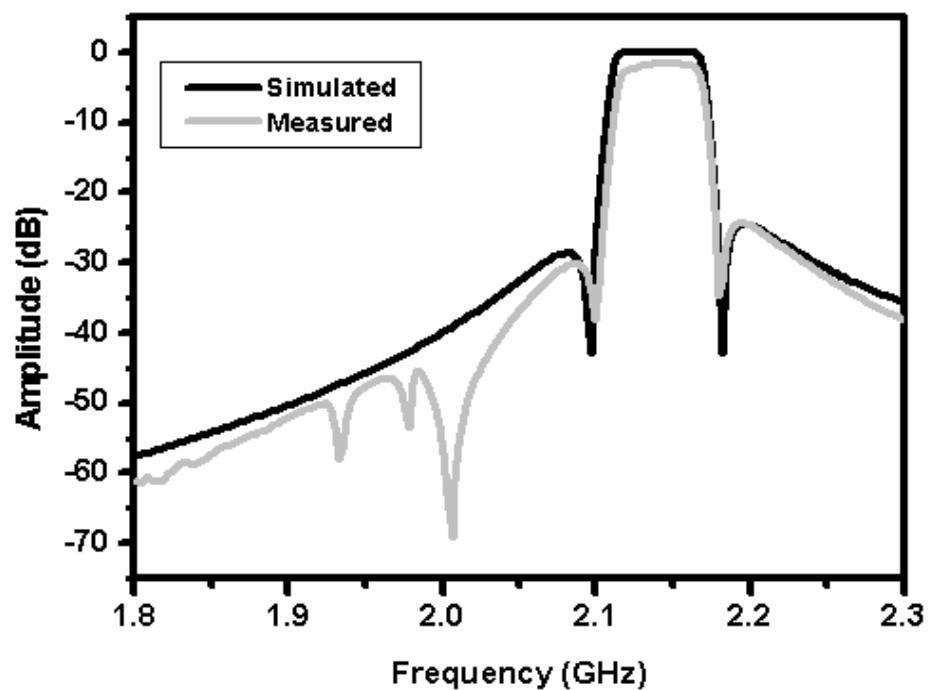
4.2.1 แสดงผลการเปรียบเทียบค่า  $S_{11}$  ของวงจรกรองของวงจรโคแพล็กเซอร์โคแอกเซียลควิตี้ ด้านแถบส่งที่ค่าความถี่กลาง 2.14GHz ระหว่างผลที่ได้จากการวัดชิ้นงานจริงและการจำลองงานด้วยโปรแกรมทางไมโครเวฟในภาพที่ 4-6

4.2.2 แสดงผลการเปรียบเทียบค่า ของวงจรกรองของวงจรโคแพล็กเซอร์โคแอกเซียลควิตี้ ด้านแถบส่งที่ค่าความถี่กลาง 2.14GHz ระหว่างผลที่ได้จากการวัดชิ้นงานจริงและการจำลองงานด้วยโปรแกรมทางไมโครเวฟในภาพที่ 4-7

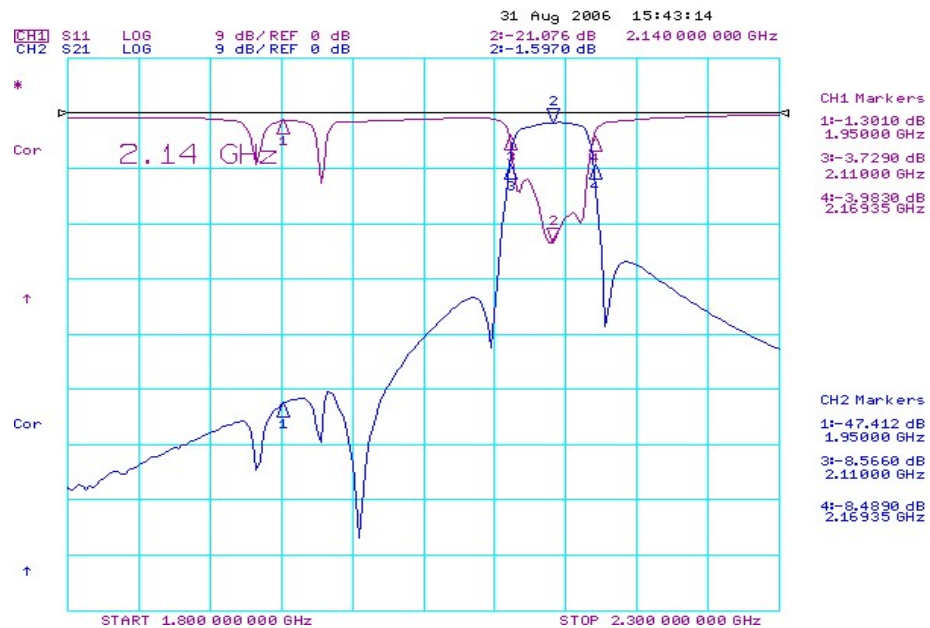
4.2.3 แสดงผลวัดจริงค่า  $S_{11}$  และ  $S_{21}$  ของวงจรกรองของวงจรโคแพล็กเซอร์โคแอกเซียลควิตี้ ด้านแถบส่งที่ค่าความถี่กลาง 2.14GHz ดังภาพที่ 4-8



ภาพที่ 4-6 เปรียบเทียบผลการวัดชิ้นงานจริงและการจำลองค่าสัมประสิทธิ์การสะท้อน ( $S_{11}$ ) ของวงจรกรองผ่านแถบคั่นแถบส่ง



ภาพที่ 4-7 เปรียบเทียบผลการวัดชิ้นงานจริงและการจำลองค่าสัมประสิทธิ์การส่งผ่าน ( $S_{21}$ ) ของวงจรกรองผ่านแถบคั่นแถบส่ง



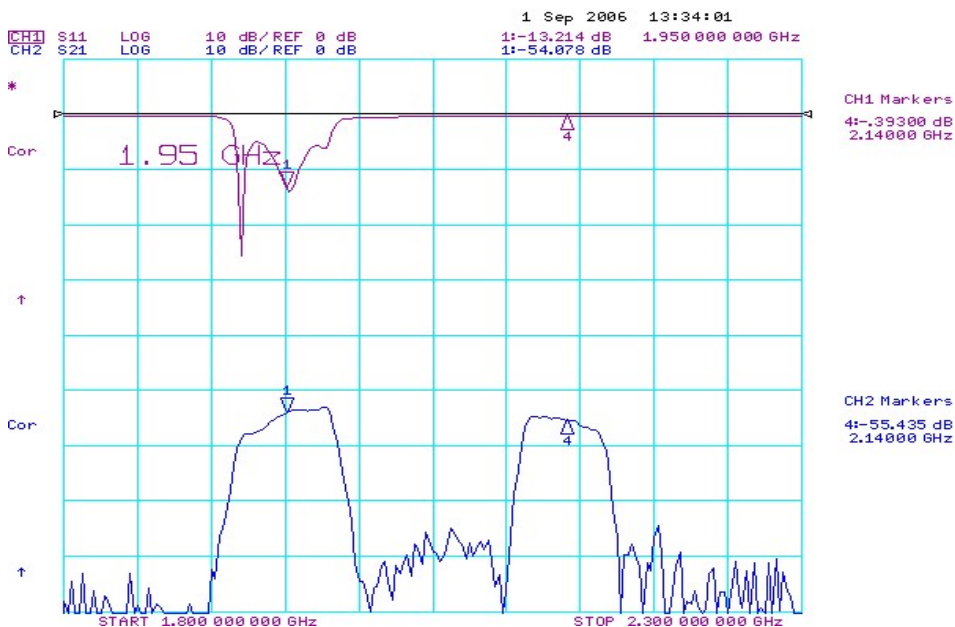
ภาพที่ 4-8 ผลวัดชิ้นงานจริงค่าสัมประสิทธิ์การสะท้อน ( $S_{11}$ ) และค่าสัมประสิทธิ์การส่งผ่าน ( $S_{21}$ ) ของวงจรกรองผ่านแถบด้านแถบส่ง

ในภาพแสดงผลการเปรียบเทียบผลการจำลองการวัดกับการวัดชิ้นงานจริงภาพที่ 4-3 และ 4-4 สำหรับวงจรกรองผ่านแถบด้านรับ และภาพที่ 4-6 และ 4-7 จะเห็นได้ว่าผลการวัดชิ้นงานจริงจะแสดงผลออกมาทั้งสองย่านความถี่ เนื่องจากในการวัดผลของชิ้นงานจริงนั้นได้มีการปรับค่าด้วยน็อตปรับค่าที่ด้านบนฝากล่องเพื่อให้ได้ผลการตอบสนองทางด้านถี่ตามที่ต้องการดังนั้นผลจากการปรับค่าของช่วงความถี่ของวงจรกรองความถี่ผ่านแถบทั้งสองด้านจะแสดงผลออกมาพร้อมกันขณะที่วัดผล และในการวัดชิ้นงานจริงนั้นสามารถทำการวัดได้แค่สองพอร์ตเท่านั้น จึงจำเป็นที่จะต้องต่อโพลคไว์ในอีกด้านตรงกันข้ามของด้านที่ทำการวัดผลจึงทำให้ผลการวัดนั้นแสดงผลทางความถี่ของด้านที่ต่อโพลคไว์ออกมาด้วยเช่นเดียวกัน

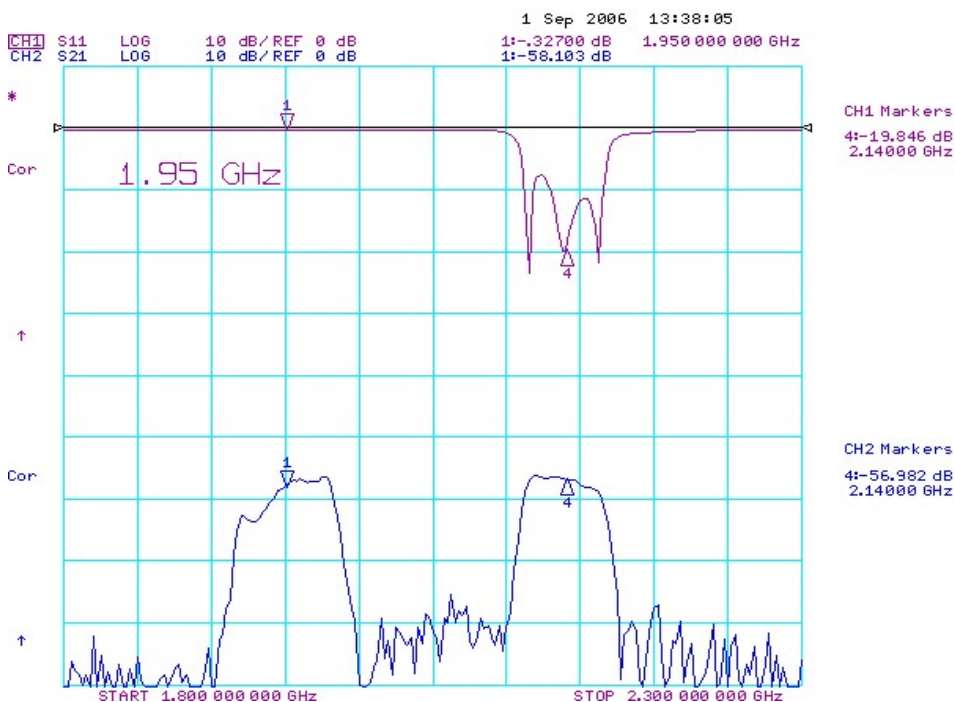
#### 4.3 ทำการวัดค่าการแยกกันของสัญญาณ ( $S_{32}$ ) หรือค่าการ Isolation ของวงจรไดเพล็กซ์เซอร์

4.3.1 ผลวัดจริงค่า  $S_{11}$  และ  $S_{21}$  ของไดเพล็กซ์เซอร์โดยใช้วงจรกรองโคมบ์ไลน์แบบโคแอกเซียลควิตตามภาพที่ 4-9

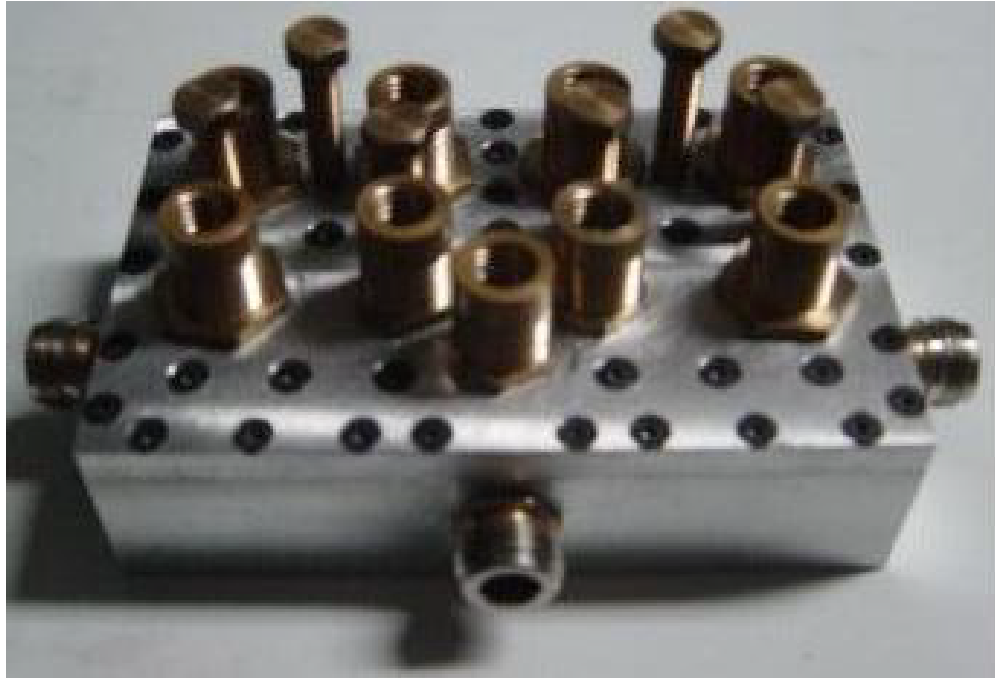
4.3.2 ผลวัดจริงค่า  $S_{11}$  และ  $S_{31}$  ของไดเพล็กซ์เซอร์โดยใช้วงจรกรองโคมบ์ไลน์แบบโคแอกเซียลควิตตามภาพที่ 4-10



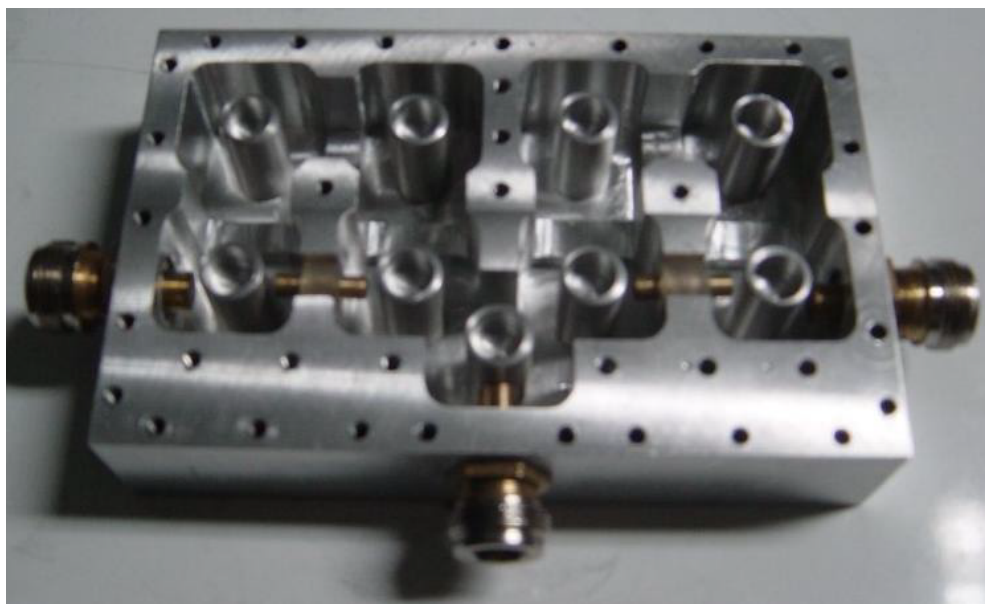
ภาพที่ 4-9 ผลวัดชิ้นงานจริงค่า ( $S_{22}$ ) และ ( $S_{32}$ ) ที่ย่านความถี่รับความถี่กลางที่ 1.95 GHz ไปยังย่านความถี่ส่งความถี่กลางที่ 2.14 GHz ของวงจรไดโพลิกส์เซอร์



ภาพที่ 4-10 ผลวัดชิ้นงานจริงค่า ( $S_{33}$ ) และ ( $S_{23}$ ) ที่ย่านความถี่ส่งความถี่กลางที่ 2.14 GHz ไปยังย่านความถี่รับความถี่กลางที่ 1.95 GHz ของวงจรไดโพลิกส์เซอร์



ภาพที่ 4-11 รูปโครงสร้างภายนอกของชิ้นงานไดเพิล์กเซอร์



ภาพที่ 4-12 รูปโครงสร้างภายในของชิ้นงานไดเพิล์กเซอร์

## บทที่ 5

### สรุปผลการวิจัย และข้อเสนอแนะ

#### 5.1 สรุปผลการวิจัย

ในงานวิจัยวงจรไดเฟล็กเซอร์โดยใช้โพรบคลื่นปลิงไขว้แบบคาปาซิทีฟนี้ได้ออกแบบมาเพื่อนำมาใช้งานจริงในระบบการสื่อสารไร้สายในย่านความถี่ IMT-2000 หรือ (1.92GHz-1.98GHz) สำหรับด้านรับ และ (2.11GHz-2.17GHz) สำหรับด้านส่ง ผลที่ได้จากการทดลองชิ้นงานจริงได้ผลสอดคล้องกันกล่าวคือผลการวัดค่าสัมประสิทธิ์การส่งผ่าน  $S_{21}$  ของด้านรับจะอยู่ที่ประมาณ 1.6dB ค่าสัมประสิทธิ์การสะท้อนกลับ  $S_{11}$  จะมีค่าประมาณ -10 dB และแบนด์วิดท์ประมาณ 60 MHz ที่ความถี่กลางจะอยู่ประมาณ 1950 MHz และค่าสัมประสิทธิ์การส่งผ่าน  $S_{31}$  จะมีค่าประมาณ 1.5 dB และแบนด์วิดท์ประมาณ 60MHz ค่าการแยกกันของสัญญาณ  $S_{32}$  จะมีค่าประมาณ -50 dB ที่ค่าความถี่กลาง 2140MHz โดยผลจากการจำลองทางไมโครเวฟจะมีค่าสัมประสิทธิ์การส่งผ่าน  $S_{21}, S_{31}$  จะมีค่าประมาณ 0.1 dB ค่าสัมประสิทธิ์การสะท้อนกลับ  $S_{11}$  จะมีค่าประมาณ -20 dB และแบนด์วิดท์ประมาณ 60MHz ค่าการแยกกันของสัญญาณ  $S_{32}$  จะมีค่าประมาณ -60 dB จะเห็นได้ว่าแบนด์วิดท์ของงานวิจัยที่มีขนาดแคบและการสูญเสียที่เหมาะสมจะนำไปใช้ในงานระบบสื่อสารไร้สาย เช่น ในระบบ IMT-2000 โดยแบนด์วิดท์ที่ใช้งานเท่ากับ 60MHz

#### 5.2 ปัญหา และข้อเสนอแนะ

เนื่องจากโปรแกรมการจำลองผลทางไมโครเวฟ CST นี้ไม่สามารถแสดงผลค่าของการสูญเสียที่เกิดขึ้นได้อย่างแม่นยำถึงแม้จะทำการออกแบบปรับจูนค่าพารามิเตอร์ต่างๆแล้วก็ตาม แต่ค่าความสูญเสียที่แสดงผลในโปรแกรมจะเป็นเพียงค่าในอุดมคติตลอด มีค่าประมาณ 0.1dB ตลอด ทำให้เมื่อนำค่าพารามิเตอร์นั้นไปสร้างชิ้นงานจริงปัญหาที่เกิดขึ้นคือ ค่าความสูญเสียที่เกิดขึ้นจริงไม่ตรงกับที่ได้จำลองผลการทดลองไว้

ข้อแนะนำในการวัดชิ้นงานจริงนั้นจำเป็นจะต้องสร้างกล่องควิตี้ให้เป็นระบบปิดให้มากที่สุดเพื่อป้องกันการรั่วไหลของสัญญาณ หรือเกิดการสูญเสียของสัญญาณเนื่องจากสูญเสียรบกวนกันเองระหว่างกล่องด้านรับกับด้านส่ง ดังนั้นทางแก้ที่คิดคือ ฝากล่องควิตี้จะต้องปิดให้สนิทให้แน่นที่สุด และในส่วนของ การปรับจูนสัญญาณด้วยตัวน็อตที่อยู่ด้านบนฝากล่อง ตัวน็อตจะต้องสั่งทำเกียรวยละเอียดพิเศษเพื่อความหนาแน่นของตัวจูนที่จะยึดติดกับฝากล่องนั่นเอง และเพื่อทำการปรับจูนให้ได้ผลการตอบสนองความถี่ที่เกิดทั้งสองช่องความถี่ให้ได้ค่าการสูญเสียต่ำที่สุด เมื่อปรับตัวจูน

เรียบร้อยแล้วก็สามารถนำวงจรไดเฟล็กเซอร์ตัวนี้ไปใช้งานตัวกรองสัญญาณในระบบสื่อสารไร้สาย  
จริงได้

## เอกสารอ้างอิง

- [1] Raafat, R. Mansour. "Filter technologies for wireless base station." IEEE Microwave Magazine. Mar 2004 : pp. 68-74.
- [2] K. V. Puglia. "A general design procedure for bandpass filters derived from low pass prototype element: Part II." Microwave Journal. Jan 2001.
- [3] Hui-Wen Yao, "Full wave modeling of conducting posts in rectangular waveguides and its applications to slot coupled combline filters." IEEE Trans. Microwave Theory and Tech. Vol. 43, No. 12, Dec 1995.
- [4] Thomas, J. B. "Cross-coupling in coaxial cavity filters a tutorial overview." IEEE Trans. Microwave Theory and Tech. Vol. 51, No. 4, pp. 1368-1376, Apr 2003.
- [5] Liang, J. Chang, H. and Zaki, K. A. "Coaxial probe modeling in waveguides and cavities," IEEE Trans. Microwave Theory and Tech. Vol. 40, No. 12, pp. 2172-2180, Dec 1992.
- [7] J. Sanguansup, S. Chaimool, and P. Akkaraekthalin. "A diplexer using a cross-coupled coaxial cavity structure." ECTI-CON 2005. May 2005.
- [7] S. Chaimool, S. Kerdsurang, and P. Akkaraekthalin. "Design of an improved four-pole hairpin resonator filter." ISPACS. Sapporo, Japan, 2005

### ประวัติผู้วิจัย

ชื่อ : นายเอกโยธิน เข้มรุ่ง  
 ชื่อวิทยานิพนธ์ : วงจรไดเฟล็กซ์เซอร์แบบโคแอกเซียลควิตี้ที่ใช้โพรบกลัปปลิ่ง  
 ใยแก้วแบบคาปาซิทีฟ  
 สาขาวิชา : วิศวกรรมไฟฟ้า

### ประวัติ

ประวัติการศึกษา สำเร็จการศึกษาระดับปริญญาตรี วิศวกรรมศาสตรบัณฑิต สาขาวิศวกรรมไฟฟ้า สถาบันเทคโนโลยีนานาชาติสิรินธร ปี พ.ศ. 2546 และสำเร็จการศึกษาระดับมัธยมปลาย โรงเรียนรัตนธิเบศ ปี พ.ศ. 2542

ประวัติส่วนตัว เกิดวันที่ 26 เดือนสิงหาคม พุทธศักราช 2524 บิดาชื่อ พันตรีวิชัย เข้มรุ่ง มารดาชื่อ ฤดี เข้มรุ่ง เป็นบุตรคนเดียวในครอบครัว ปัจจุบันอยู่ที่อยู่บ้านเลขที่ 34 ตำบลท่าทราย อำเภอเมือง จังหวัดนนทบุรี

ประวัติการนำเสนอผลงานวิจัย การนำเสนอผลงานวิจัย ในระหว่างวันที่ 11-12 เดือน พฤษภาคม พุทธศักราช 2549., การประชุมวิชาการนานาชาติด้านวิศวกรรมไฟฟ้าอิเล็กทรอนิกส์ คอมพิวเตอร์เทคโนโลยีการติดต่อสื่อสารและข้อมูลข่าวสาร (Electrical Engineering/Electronics, Computer, Telecommunications and Information Technologies 2006 : ECTI2006) ณ โรงแรม อุบลราชธานี จังหวัดอุบลราชธานี